



TUGAS AKHIR - SS 141501

**PENGENDALIAN KUALITAS TEPUNG TERIGU “PALAPA”
DENGAN PENDEKATAN *SIX SIGMA*
DI PT. PIONEER FLOUR MILL INDUSTRIES**

IDA NURUL QOMARIYAH
NRP 1313 105 031

Dosen Pembimbing
Dra. Sri Mumpuni Retnaningsih, MT

Program Studi S1 Statistika
Fakultas Matematika dan Ilmu Pengetahuan Alam
Institut Teknologi Sepuluh Nopember
Surabaya 2015



FINAL PROJECT - SS 141501

QUALITY CONTROL OF PRODUCT "PALAPA FLOUR " WITH SIX SIGMA APPROACH IN PT. PIONEER FLOUR MILL INDUSTRIES

IDA NURUL QOMARIYAH
NRP 1313 105 031

Supervisor
Dra. Sri Mumpuni Retnaningsih, MT.

Undergraduate Programme of Statistics
Faculty of Mathematics and Natural Sciences
Institut Teknologi Sepuluh Nopember
Surabaya 2015

LEMBAR PENGESAHAN

PENGENDALIAN KUALITAS TEPUNG TERIGU
"PALAPA" DENGAN PENDEKATAN SIX SIGMA
DI PT. PIONEER FLOUR MILL INDUSTRIES

TUGAS AKHIR

Diajukan Untuk Memenuhi Salah Satu Syarat
Memperoleh Gelar Sarjana
pada

Program Studi S1 Jurusan Statistika
Fakultas Matematika dan Ilmu Pengetahuan Alam
Institut Teknologi Sepuluh Nopember Surabaya

Oleh :

IDA NURUL QOMARIYAH
NRP. 1313 105 031

Disetujui oleh Pembimbing Tugas Akhir :

Dra. Sri Mumpuni Retnaningsih, MT
NIP. 19610311 198701 2 001

Mengetahui,
Ketua Jurusan Statistika FMIPA-ITS

Dr. Muhammad Mashuri, MT
NIP. 19620408 198701 1 001

SURABAYA, JULI 2015

PENGENDALIAN KUALITAS TEPUNG TERIGU “PALAPA” DENGAN PENDEKATAN SIX SIGMA DI PT. PIONEER FLOUR MILL INDUSTRIES

**Nama Mahasiswa : Ida Nurul Qomariyah
NRP : 1313 105 031
Program Studi : Sarjana
Jurusan : Statistika FMIPA-ITS
Dosen Pembimbing : Dra. Sri Mumpuni R. MT.**

Abstrak

Persaingan di dunia industri kini semakin ketat dalam merebut pangsa pasar dan kebutuhan yang dapat memuaskan konsumen. Upaya yang dilakukan PT. Pioneer Flour Mill Industries dalam meningkatkan kualitas produk sangat diperhatikan terutama produk tepung terigu “Palapa”, sehingga pengontrolan kualitas yang dilakukan haruslah selektif. Produksi tepung terigu “Palapa” pada bulan Desember 2014 menunjukkan bahwa level sigma yang dihasilkan sebesar $2,05\sigma$. Hal ini menjadi permasalahan bagi perusahaan karena level sigma dianggap masih rendah. Perusahaan ingin mengetahui bagaimana peningkatan level six sigma serta pergeseran proses produksi pada fase 1 dan fase 2 diperiode selanjutnya. Pada Tugas Akhir ini akan dilakukan penelitian pengendalian kualitas terhadap tepung terigu “Palapa” menggunakan peta kendali generalized variance dan T^2 Hotelling dengan pendekatan six sigma. Tujuannya yaitu ingin meningkatkan level sigma dan mengetahui pergeseran proses pada fase 1 dan fase 2, dimana variabel yang digunakan yaitu moisture, ash dan gluten. Data pengamatan yang dikumpulkan untuk fase 1 adalah hasil proses produksi pada bulan Januari - Maret 2015 dan fase 2 pada periode April - Mei 2015. Kesimpulan yang dihasilkan yaitu pada proses produksi fase 1 memiliki nilai level sigma sebesar $3,97\sigma$ lebih besar dari nilai level sigma pada fase 2 yaitu $3,02\sigma$, dikarenakan adanya kobocoran pada mesin shifter, artinya proses produksi pada fase 1 menghasilkan DPMO lebih kecil yaitu sebesar 6.870 kegagalan persatujuta kesempatan dibandingkan DPMO pada fase 2 yaitu menghasilkan 314.915 kegagalan persatujuta kesempatan.

Kata kunci : Ash, Generalized variance, Gluten, Moisture, Six sigma, Tepung terigu, T^2 Hotelling.

QUALITY CONTROL OF PRODUCT "PALAPA FLOUR " WITH SIX SIGMA APPROACH IN PT. PIONEER FLOUR MILL INDUSTRIES

Name of Student	: Ida Nurul Qomariyah
NRP	: 1313 105 031
Study Program	: Sarjana
Department	: Statistics FMIPA-ITS
Supervisor	: Dra. Sri Mumpuni Retnaningsih, MT.

Abstract

Competition in industrial is tightly fight for market share and satisfy consumers. Efforts made by PT. Pioneer Flour Mill Industries in improving product quality are concerned mainly wheat flour products "Palapa", so that the quality control and need to be selective. Production of wheat flour "Palapa" in December 2014 shows that the sigma level generated by $2,05\sigma$. This becomes problem for the company because the sigma level is low. Companies want to know how to increase the level of six sigma and shifting production processes in phase 1 and phase 2 for next period. In this final project will be carried out research on the quality control of the wheat flour "Palapa" using the control chart generalized variance and T^2 Hotelling with six sigma approach. the objective being wants to increase the level of sigma and knowing shifting process in phase 1 and phase 2. The variables used are moisture, ash and gluten period January - March 2015 in phase 1 and the periods April - May 2015 in phase 2. The result that the Phase 1 production process has a value of $3,97\sigma$ sigma level is greater than the value of the phase 2 sigma level is $3,02\sigma$, due to leaks on the engine shifter, meaning that the production process in phase 1 resulted in smaller DPMO is equal to 6,870 compared chance of failure per one million, DPMO on phase 2 which produces 314 915 per one million chance of failure.

Keywords: *Ash, Flour, Generalized variance, Gluten, Moisture, Six sigma, T^2 Hotelling.*

KATA PENGANTAR

Alhamdulillahirobbilalamin, segala puji hanyalah untuk Allah, Tuhan semesta alam atas segala rahmat, nikmat dan hidayah-Nya sehingga penulis dapat menyelesaikan Tugas Akhir dengan judul:

“Pengendalian Kualitas Tepung Terigu “Palapa” Dengan Pendekatan Six Sigma“

Selama proses penyusunan Laporan Tugas Akhir ini penulis telah menerima banyak bantuan dari berbagai pihak. Oleh Karena itu dengan penuh hormat, ketulusan dan kerendahan hati, penulis mengucapkan terima kasih kepada:

1. Ibu Dra. Sri Mumpuni Retnaningsih, MT. selaku Dosen Pembimbing yang sangat sabar dan perhatian dalam memberikan arahan, masukan serta bimbingan kepada penulis selama mengerjakan Tugas Akhir.
2. Bapak Dr. Muhammad Mashuri, MT selaku Ketua Jurusan Statistika FMIPA ITS.
3. Ibu Dra. Lucia Aridinanti, MT. Selaku Ketua Program Studi Sarjana dan selaku Dosen Penguji yang telah memberikan arahan dan masukan untuk kesempurnaan Laporan Tugas Akhir.
4. Ibu Diaz Fitra Aksioma S.Si M.Si dan selaku Dosen Penguji yang telah memberikan arahan dan masukan untuk kesempurnaan Laporan Tugas Akhir penulis.
5. Bapak Dr. Sony Sunaryo, MS. Selaku Kepala bidang laboratorium Industri.
6. Ibu Dr. Santi Puteri Rahayu S.Si. M.Si selaku Dosen Wali yang telah membimbing penulis mulai awal perkuliahan.
7. Segenap Dosen dan Karyawan Jurusan Statistika yang telah banyak membantu penulis selama kuliah di D-III Statistika ITS.
8. Pihak PT. *Pioneer Flour Mill Industry*, khususnya Bapak Hersukma Catur, Bapak Balya Rosyid dan Bapak Alvin

- Rizqillah yang telah memberikan arahan dan bimbingan dalam proses pengamatan produk.
9. Orang Tua (Bapak dan Ibu) yang telah mendidik, memotivasi, dan memberikan doa yang tulus dan ikhlas.
 10. Keluarga besar tercinta, Mas Husnul, Mas Muhammin, Mbak Nabawiyah, Mbak Vivi, Adek Dewi, Farah, Fairuz, Fahri, Khusnul dan Rizqiyatul, terimakasih atas dukungan dan motivasinya selama ini.
 11. Teman-Teman yang senasib, seperjuangan Tugas Akhir (Fitria, Erna, Novil, Silviyah, Javellin dan Fitrah) terima kasih atas kebersamaannya selama ini, baik suka maupun duka.
 12. Sahabat-sahabat terbaik Fitri, Dayah, Atik, Erna, Fitria, Novil, Vellin, Silvi, Arinda, Meita, Alma, Evi, Tanti, Wardah, Mirna, Diyah, Woro. Terimakasih telah menjadi bagian cerita indah kehidupan penulis. Sukses untuk kita semua.
 13. Aminullah, Terimakasih atas dukungan, masukan dan cerita yang tak berwujud selama ini.
 14. Rekan-rekan Lintas Jalur Statistika 2013 atas segala dukungan dan kebersamaan yang telah menemani selama masa perkuliahan.
 15. Teman-teman Statistika ITS dan semua pihak yang tidak dapat disebutkan satu-persatu atas segala bantuan, dukungan, dan doa yang telah memberi makna dan kenangan dalam hidup.

Dengan selesainya laporan Tugas Akhir ini, penulis menyadari bahwa penyusunan laporan ini masih jauh dari sempurna. Maka saran serta kritik yang sangat diharapkan. Semoga laporan ini dapat memberi manfaat bagi semua pihak, khususnya bagi PT. Flour Mill Industries sebagai masukan dalam peningkatan kualitas Produk Tepung Terigu “Palapa”.

Surabaya, Juli 2014

Penulis

DAFTAR ISI

	Halaman
HALAMAN JUDUL	i
LEMBAR PENGESAHAN	iii
ABSTRAK	iv
ABSTRACT	v
KATA PENGANTAR	vi
DAFTAR ISI	viii
DAFTAR GAMBAR	x
DAFTAR TABEL	xi
DAFTAR LAMPIRAN	xiii
BAB I PENDAHULUAN	
1.1 Latar Belakang	1
1.2 Permasalahan	2
1.3 Tujuan Penelitian	2
1.4 Manfaat Penelitian	3
1.5 Batasan Masalah	3
BAB II TINJAUAN PUSTAKA	
2.1 Statistika Deskripif	5
2.2 Analisis Multivariat	5
2.3 Pengendalian Kualitas Statistika	10
2.4 Peta Kendali	10
2.5 Kapabilitas Proses	14
2.6 Diagram <i>Ishikawa</i>	16
2.7 <i>Six Sigma</i>	17
2.8 Metodologi Peningkatan <i>Six Sigma</i>	18
2.9 Proses Produksi Tepung Terigu “Palapa”	19
BAB III METODOLOGI PENELITIAN	
3.1 Tahap <i>Define</i>	21
3.2 Tahap <i>Measure</i>	21
3.3 Tahap <i>Analyze</i>	23

BAB IV ANALISIS DATA DAN PEMBAHASAN	
4.1 Analisis Statistika Pada Fase 1	27
4.1.1 Deskripsi Data.....	27
4.1.2 Uji Dependensi variabel.....	28
4.1.3 Pengecekan Distribusi Normal Multivariat	28
4.1.4 Uji Homogenitas Matrik Varian Kovarian	29
4.1.5 Peta Kendali Multivariat	29
4.2 Analisis Statistika Pada Fase 2	33
4.2.1 Deskripsi Data.....	33
4.2.2 Uji Dependensi variabel.....	33
4.2.3 Pengecekan Distribusi Normal Multivariat	34
4.2.4 Uji Homogenitas Matrik Varian Kovarian	34
4.2.5 Peta Kendali Multivariat	35
4.3 Uji Perbandingan Proses Fase 1 dan Fase 2	38
4.4 Diagram <i>Ishikawa</i>	39
4.5 Kapabilitas Proses.....	41
BAB V KESIMPULAN DAN SARAN	
5.1 Kesimpulan	43
5.2 Saran.....	43
DAFTAR PUSTAKA	45
LAMPIRAN	47

DAFTAR TABEL

	Halaman
Tabel 2.1	Struktur Data Peta Kendali T^2 <i>Hotelling</i>
Tabel 2.2	12
Tabel 2.2	Struktur Data Peta Kendali T^2 <i>Hotelling</i>
Tabel 4.2	18
Tabel 4.2	Deskripsi Data Pada Fase1.....
Tabel 4.3	27
Tabel 4.3	Penyebab <i>Out Of Control</i> Pada Fase 1.....
Tabel 4.4	32
Tabel 4.4	Deskripsi Data Pada Fase 2.....
Tabel 4.5	33
Tabel 4.5	Penyebab <i>Out Of Control</i> Pada Fase 2.....
Tabel 4.6	37
Tabel 4.6	Indeks Kapabilitas Proses Sacara Multivariat.....
Tabel 4.6	41
Tabel 4.7	Nilai <i>Sigma</i> dan DPMO
Tabel 4.7	42

DAFTAR GAMBAR

	Halaman
Gambar 2.1 Diagram <i>Ishikawa</i>	17
Gambar 2.2 <i>Operation Process Chart (OPC) Manufacturer</i> PT. Pioneer Flour Mill Industries	20
Gambar 3.3 <i>Flow Chart Six Sigma</i>	25
Gambar 3.4 Lanjutan <i>Flow Chart Six Sigma</i>	26
Gambar 4.1 <i>Chi-square Plot</i> Pada Fase 1.....	29
Gambar 4.2 Peta Kendali <i>Generalized Variance</i> Fase 1	30
Gambar 4.3 Revisi 1 Peta Kendali <i>Generalized Variance</i> Fase 1	30
Gambar 4.4 Revisi 2 Peta Kendali <i>Generalized Variance</i> Fase 1	31
Gambar 4.5 Peta Kendali T^2 <i>Hotelling</i> Fase 1	31
Gambar 4.6 Revisi Pada Peta Kendali T^2 <i>Hotelling</i> Fase 1	32
Gambar 4.7 <i>Chi-square Plot</i> Pada Fase 2.....	34
Gambar 4.8 Peta Kendali <i>Generalized variance</i> Fase 2	35
Gambar 4.9 Revisi 1 Peta Kendali <i>Generalized variance</i> Fase 2	36
Gambar 4.10 Peta Kendali T^2 <i>Hotelling</i> Fase 2.....	36
Gambar 4.11 Revisi 1 Peta Kendali T^2 <i>Hotelling</i> Fase 2.....	37
Gambar 4.12 Revisi 2 Peta Kendali T^2 <i>Hotelling</i> Fase 2.....	38
Gambar 4.13 Diagram <i>Ishikawa</i> Pada Variabel <i>Moisture</i>	39
Gambar 4.14 Diagram <i>Ishikawa</i> Pada Variabel <i>Ash</i>	40
Gambar 4.15 Diagram <i>Ishikawa</i> Pada Variabel <i>Gluten</i>	40

DAFTAR LAMPIRAN

	Halaman	
Lampiran A	Data Hasil Uji Laboratorium Produk Tepung Terigu “Palapa” Fase 1 (Periode 5 Januari-11 Maret 2015).....	47
Lampiran B	Data Hasil Uji Laboratorium Produk Tepung Terigu “Palapa” Fase 2 (Periode 16 Maret-20 Mei 2015).....	52
Lampiran C	<i>Output SPSS Uji Bartlett</i>	55
Lampiran D	<i>Output Minitab Uji Distribusi Normal</i>	56
Lampiran E	<i>Output Minitab Uji Distribusi Normal Multivariat Fase 2</i>	59
Lampiran F	<i>Output SPSS Homogenitas Matrik Varian Kovarian</i>	61
Lampiran G	<i>Output Minitab Nilai K Pada Kapabilitas Proses Multivariat Fase1</i>	62
Lampiran H	<i>Output Minitab Nilai K Pada Kapabilitas Proses Multivariat Fase2</i>	66
Lampiran I	<i>Output Minitab Nilai s Pada Kapabilitas Proses Multivariat Fase1</i>	69
Lampiran J	<i>Output Minitab Nilai s Pada Kapabilitas Proses Multivariat Fase2</i>	73
Lampiran K	<i>Macro Minitab Uji Distribusi Normal Multivariat</i>	76
Lampiran L	<i>Macro Minitab Nilai K untuk Kapabilitas Proses</i>	77
Lampiran M	<i>Macro Minitab Nilai s untuk Kapabilitas Proses</i>	78
Lampiran N	<i>Ouput SPSS MANOVA Dan Box's M Test</i>	80
Lampiran O	Konversi <i>Sigma</i> ke DPMO.....	81

BAB I

PENDAHULUAN

1.1 Latar belakang

Era globalisasi membuat dunia industri melaju dengan cukup cepat, sebagai akibatnya persainganpun semakin tajam. Dunia bisnis sebagai salah satu bagiannya juga mengalami hal yang sama, perusahaan-perusahaan yang dahulu bersaing hanya pada tingkat lokal atau regional kini harus bersaing dengan perusahaan dari seluruh dunia, hanya perusahaan yang mampu menghasilkan barang atau jasa berkualitas kelas dunia yang dapat bersaing dalam pasar global.

Kualitas merupakan hal yang sangat dipertimbangkan bagi konsumen untuk memilih produk yang mereka inginkan. Proses yang baik akan menghasilkan kualitas produk yang baik pula, oleh karena itu dibutuhkan suatu strategi yang mampu menjaga kestabilan suatu proses dengan tujuan untuk meminimalisasi produk cacat, salah satunya melakukan pengendalian kualitas.

PT. Pioneer Flour Mill Industries merupakan sebuah perusahaan *manufactur* yang memproduksi tepung terigu berbahan dasar gandum. salah satunya tepung terigu “Palapa”. Tepung terigu “Palapa” adalah tepung terigu serbaguna terbuat dari gandum jenis *soft wheat* dengan kandungan protein relatif rendah berkisar antara 8-10%, biasanya digunakan oleh industri-industri yang memproduksi biskuit dan *cookies*.

Mengingat banyaknya persaingan produk dari beberapa perusahaan sejenis, PT. Pioneer Flour Mill Industries selalu berusaha untuk meningkatkan kualitas dari produk yang dihasilkannya. Selama ini, proses *quality control* yang diterapkan pada perusahaan hanya berupa dokumentasi, tanpa analisis dan evaluasi lebih lanjut, sehingga pada penelitian ini digunakan analisis statistika untuk meningkatkan level *sigma* pada produksi tepung terigu “Palapa”. Karakteristik kualitas tepung terigu yang diukur antara lain *moisture*, *ash* dan *gluten*. Berdasarkan banyaknya karakteristik kualitas pada tepung

terigu yang diduga saling berhubungan, maka metode statistik yang digunakan untuk mengendalikan proses yaitu peta kendali *Generalized Variace* dan T^2 *Hotelling* dengan pendekatan konsep *Six sigma*.

Six sigma merupakan salah satu metode dalam memberikan solusi peningkatan standar proses internal perusahaan, dengan tujuan untuk meminimalisasi *defect*, sehingga *trend* kegagalan produk dapat menurun tiap periodenya. Upaya peningkatan menuju target *six sigma* dapat dilakukan menggunakan dua metodologi, yaitu *six sigma* - DMAIC (*Define, Measure, Analyze, Improve, Control*) dan *Design For Six Sigma* - DMADV (*Define, Measure, Analyze, Design, Verify*). Penerapan metode *Six sigma* secara multivariat sebelumnya pernah dilakukan oleh eko (2012) pada proses pengemasan produk semen gresik menggunakan peta kendali P-multivariat. dengan kesimpulan bahwa hasil produk pada pengemasan semen mencapai level 3σ .

1.2 Rumusan masalah

Produksi tepung terigu “Palapa” pada bulan Desember 2014 menunjukkan bahwa level *sigma* yang dihasilkan sebesar $2,05\sigma$. Hal ini menjadi permasalahan bagi perusahaan karena level *sigma* pada produksi tepung terigu khususnya “Palapa” dianggap masih rendah. Perusahaan ingin mengetahui bagaimana peningkatan level *six sigma* serta pergeseran proses produksi pada fase 1 dan fase 2 diperiode selanjutnya, karena karakteristik kualitas yang diduga saling berhubungan maka analisis yang digunakan adalah pengendalian kualitas multivariat.

1.3 Tujuan

Berdasarkan permasalahan diatas maka tujuan yang ingin diperoleh yaitu meningkatkan level *sigma* dan mengetahui pergeseran proses fase 1 dan fase 2 pada produksi tepung terigu “Palapa” di PT. Pioneer Flour Mill Industries.

1.4 Manfaat

Berdasarkan permasalahan dan tujuan yang telah dipaparkan, manfaat yang diharapkan dari penelitian ini adalah masukan/informasi perbaikan, peningkatan kualitas dan meminimumkan produk yang tidak sesuai spesifikasi pada proses produksi tepung terigu “Palapa”

1.5 Batasan Masalah

Pada penelitian ini konsep metodologi yang digunakan yaitu *six sigma DMAIC (Define, Measure, Analyze, Improve, Control)* dimana hanya dilakukan sampai pada tahap *Analyze*. Sedangkan periode produksi yang digunakan dalam penelitian ini yaitu 5 Januari – 31 Maret 2015 untuk fase 1 dan pada tanggal 1 April – 20 Mei 2015 untuk fase 2.

(Halaman ini sengaja dikosongkan)

BAB II

TINJAUAN PUSTAKA

2.1 Statistika Deskriptif

Statistik deskriptif merupakan metode-metode yang berkaitan dengan pengumpulan dan penyajian suatu data sehingga memberikan informasi yang berguna. Statistika deskriptif dapat disajikan baik dalam tabel, diagram-diagram, grafik, atau besaran-besaran lainnya (Walpole, 2011).

Statistika deskriptif yang digunakan salah satunya yaitu rata-rata. Rata-rata dari data dapat diperoleh dengan menjumlahkan nilai setiap pengamatan dalam data tersebut dan kemudian membaginya dengan banyaknya data. Nilai maksimum merupakan nilai terbesar dari sebuah data, dan nilai minimum merupakan nilai terkecil dari sebuah data, sehingga Jangkauan atau *range* merupakan selisih antara nilai terbesar (maksimum) dengan nilai terkecil (minimum) dari suatu data.

2.2 Analisis Multivariat

Analisis multivariat merupakan analisis statistika yang digunakan pada pengamatan yang memiliki variabel lebih dari satu, dimana antar variabel tersebut terdapat korelasi. Teknik analisis multivariat secara dasar diklasifikasikan menjadi dua yaitu analisis dependensi dan analisis interdependensi. Analisis dependensi berfungsi untuk menerangkan atau memprediksi variabel tergantung menggunakan dua atau lebih variabel bebas, sedangkan analisis interdependensi berfungsi untuk menerangkan atau memprediksi variabel yang tidak saling tergantung menggunakan dua atau lebih variabel bebas (Johnson & Wichern, 2007). Untuk menggunakan analisis multivariat diperlukan asumsi bahwa variabel-variabel harus dependen dan berdistribusi normal multivariat.

2.2.1 Dependensi Variabel

Salah satu asumsi yang harus dipenuhi dalam analisis multivariat yaitu adanya hubungan antar variabel, dimana jika variabel x_1, x_2, \dots, x_p bersifat saling bebas, maka matriks korelasi antar variabel sama dengan matriks indentitas. Untuk menguji dependensi antar variabel tersebut digunakan uji *Bartlett* (Morrison, 1990). Uji *Bartlett* dapat dinyatakan dalam hipotesis sebagai berikut,

$$H_0 : \mathbf{P} = \mathbf{I} \text{ (Matrik korelasi = Matrik Identitas)}$$

$$H_1 : \mathbf{P} \neq \mathbf{I} \text{ (Matrik korelasi } \neq \text{ Matrik Identitas)}$$

Statistik uji :

$$\chi^2 = - \left[n - 1 - \frac{2p + 5}{6} \right] \ln |\mathbf{R}| \quad (2.1)$$

$$\mathbf{R} = \begin{pmatrix} 1 & r_{12} & \cdots & r_{1p} \\ r_{21} & 1 & \cdots & r_{2p} \\ \vdots & \vdots & \ddots & \vdots \\ r_{p1} & r_{p2} & & 1 \end{pmatrix} \quad (2.2)$$

Dimana n adalah banyaknya observasi, p adalah variabel karakteristik kualitas, \mathbf{R} adalah taksiran dari sampel yang merupakan matrik korelasi dari masing-masing variabel sedangkan \mathbf{P} adalah taksiran dari parameter, dengan $\chi^2_{(\alpha/2, p(p-1))}$

merupakan nilai distribusi *chisquare* dengan tingkat signifikansi (α) sebesar 0,05 dan derajat bebas sebesar $\frac{1}{2}p(p-1)$. H_0 ditolak jika $\chi^2 > \chi^2_{(\alpha/2, p(p-1))}$ atau dapat disimpulkan bahwa variabel memiliki korelasi yang cukup kuat.

2.2.2 Distribusi Normal Multivariat

Distribusi normal multivariat merupakan pengembangan dari bentuk distribusi normal univariat dengan jumlah variabel lebih dari satu. Suatu pengamatan

x_1, x_2, \dots, x_p mempunyai distribusi normal multivariat dengan fungsi densitas (Johnson dan Wichern 2007).

$$f(x) = \frac{1}{(2\pi)^{p/2} |\Sigma|^{1/2}} e^{-\frac{1}{2}(x-\mu)' \Sigma^{-1} (x-\mu)} \quad (2.3)$$

$$d_{jk}^2 = (\bar{X}_{ijk} - \bar{\bar{X}}_{j.})' \sum^{-1} (\bar{X}_{ijk} - \bar{\bar{X}}_{j.}) \quad (2.4)$$

Dimana

$$\Sigma = \begin{pmatrix} S_{11}^2 & S_{12} & \cdots & S_{1P} \\ S_{21} & S_{22}^2 & \cdots & S_{2P} \\ \vdots & \vdots & \ddots & \vdots \\ S_{p1} & S_{p2} & \cdots & S_{pP}^2 \end{pmatrix} \quad (2.5)$$

$$S_{j.} = \frac{1}{n-1} \sum_{i=1}^n (x_{j.} - \bar{x}_{j.}) \quad (2.6)$$

\bar{X}_{ijk} = vektor sampel ke-i, karakteristik kualitas ke-j dan subgrup ke-k

$\bar{\bar{X}}_{j.}$ = vektor rata-rata pengamatan pada karakteristik kualitas ke-p

\sum^{-1} = invers matriks varian kovarian

i = 1, 2, ..., n (n adalah jumlah sampel tiap subgrup)

j = 1, 2, ..., p (p adalah jumlah karakteristik kualitas)

k = 1, 2, ..., m (m adalah jumlah subgrup)

Data dikatakan berdistribusi normal multivariat apabila terdapat lebih dari 50% nilai $d_{jk}^2 \geq X_{(p-1);0,05}^2$. Selain menghitung jarak kuadrat, distribusi normal multivariat dapat dilihat secara visual dengan cara membuat *Chi-square plot*. Langkah-langkah membuat *Chi-square plot* adalah sebagai berikut

1. Menghitung jarak tergeneralisasi yang dikuadratkan atau biasa disebut dengan d_{jk}^2 dimana \sum^{-1} berukuran $p \times p$, seperti pada persamaan 2.4.

2. Mengurutkan nilai d_{jk}^2 dari yang terkecil hingga terbesar
3. Menentukan nilai q_i , dimana $q_i = \chi^2_{\left(p, \frac{1-0,5}{n}\right)}$. Nilai $\chi^2_{\left(p, \frac{1-0,5}{n}\right)}$ diperoleh dari tabel distribusi χ^2
4. Membuat *scatterplot* antara d_{jk}^2 dengan q_i .

Chi-square plot akan membentuk sebuah garis lurus jika sebaran data mengikuti distribusi normal multivariat.

2.2.3 Homogenitas Matriks Varian Kovarian

MANOVA (*Multivariate Analysis of Varians*) merupakan metode yang dikembangkan dari konsep dan teknik ANOVA untuk menganalisis perbedaan antara rata-rata kelompok. Matriks varian kovarian yang homogen merupakan syarat yang dibutuhkan dalam analisis MANOVA (Karson, 1982). Untuk mengetahui apakah matrik varian kovarian homogen, maka digunakan hipotesis sebagai berikut.

$$H_0 : \Sigma_1 = \Sigma_2 = \dots = \Sigma_k ; k = 1, 2, \dots, m \text{ (matriks varian kovarian homogen)}$$

$$H_1 : \text{minimal ada satu koelompok yang berbeda (matriks varian kovarian tidak homogen)}$$

Statistik Uji:

$$Box's M = -2(1 - c_1) \left[\frac{1}{2} \sum_{i=1}^k v_i \ln |\mathbf{S}_i| - \frac{1}{2} \ln \|\mathbf{S}_{pool}\| \sum_{i=1}^k v_i \right] \quad (2.7)$$

Dimana

$$\mathbf{S}_{pool} = \frac{\sum_{i=1}^k v_i \mathbf{S}_i}{\sum_{i=1}^k v_i} \quad (2.8)$$

$$c_1 = \left[\sum_{i=1}^k \frac{1}{v_i} - \frac{1}{\sum_{i=1}^k v_i} \right] \left[\frac{2p^2 + 3p - 1}{6(p+1)(k-1)} \right] \quad (2.9)$$

$$v_i = n_i - 1 \quad (2.10)$$

H_0 ditolak apabila nilai $\chi_{hit}^2 \geq \chi_{0,05(k-1)p(p+1)}^2$ atau P-Value $< \alpha$, sehingga dapat diputuskan matrik varian kovarian adalah homogen

2.2.4 MANOVA (*Multivariate Analysis of Varians*)

Apabila diketahui dua populasi dimana variabelnya adalah multivariat maka untuk membandingkan kedua populasi tersebut digunakan MANOVA (*Multivariate Analysis of Varians*), untuk itu digunakan Statistik U atau *Wilks' Lambda* merupakan rasio antara jumlah kuadrat dalam kelompok (*within group sum of square*) dan jumlah kuadrat total (*total sum of square*). Nilainya berkisar antara 0 sampai 1. Nilai *lambda* yang besar (medekati 1) menunjukkan bahwa rata-rata grup cenderung tidak berbeda. Sebaliknya nilai *lambda* yang kecil (mendekati 0), menunjukkan bahwa rata-rata grup berbeda. Untuk mengetahui apakah rata-rata grup cenderung tidak berbeda digunakan hipotesis sebagai berikut.

$H_0 : \tau_1 = \tau_2 = \dots = \tau_k ; k = 1, 2, \dots, m$ (tidak ada perbedaan rata-rata antar kelompok)

$H_1 : \text{minimal ada satu koelompok yang berbeda}$
Statistik Uji

$$\Lambda^* = \prod_{i=1}^p (1 + \hat{\lambda}_i)^{-1} = \frac{|\mathbf{W}|}{|\mathbf{B} + \mathbf{W}|} \quad (2.11)$$

Dimana

$$\mathbf{W} = \sum_{k=1}^m \sum_{j=1}^p (x_{jk} - \bar{x}_k)(x_{jk} - \bar{x}_{kl})^T \quad (2.12)$$

$$\mathbf{B} = \sum_{k=1}^m n_k (\bar{x}_k - \bar{x})(\bar{x}_k - \bar{x})^T \quad (2.13)$$

H_0 ditolak apabila nilai $\Lambda^* > F_{(n_1-1), (n-n_1)}$ atau nilai P-Value $< \alpha$. Sehingga dapat disimpulkan bahwa rata-rata grup atau populasi terdapat perbedaan.

2.3 Pengendalian Kualitas Statistika

Pengendalian kualitas statistika didefinisikan sebagai suatu metode untuk memeriksa tingkat kualitas yang diinginkan dalam suatu produk atau proses yang telah ditentukan dan dapat digunakan sebagai standar pembanding, apakah kualitas yang dihasilkan dari proses produksi sudah memenuhi standar yang telah ditentukan atau belum (Montgomery, 2013).

2.4 Peta Kendali

Peta kendali adalah bentuk grafik dari karakteristik kualitas yang telah diukur dari sampel, terdiri dari garis tengah yang merupakan nilai rata-rata karakteristik kualitas, sedangkan dua garis horizontal lainnya terdiri dari batas kendali atas dan batas kendali bawah. Selama titik-titik pengamatan terletak didalam batas kendali dan memiliki pola yang random, proses diasumsikan dalam keadaan terkendali dan tidak ada tindakan yang dilakukan, namun jika titik-titik pengamatan memiliki pola nonrandom meskipun berada didalam batas kendali, maka proses dikatakan belum terkendali, sehingga dilakukan identifikasi penyebab tidak terkendalinya proses, dengan cara mencari dan menghilangkan penyebab yang diketahui ataupun tidak. (Montgomery, 2013)

2.4.1 Peta Kendali Variabel

Suatu produk yang memiliki karakteristik kualitas berupa dimensi, berat atau volume, maka karakteristik kualitas dari produk tersebut adalah variabel jika suatu produk

karakteristik kualitasnya variabel, biasanya perlu untuk memantau baik nilai *mean* dari karakteristik kualitas maupun variabilitasnya. Hal ini penting untuk mempertahankan kontrol atas proses *mean* dan variabilitas proses (Montgomery, 2013)

2.4.2 Peta Kendali T^2 *Hotelling*

Peta kendali T^2 *Hotelling* merupakan suatu metode pengendalian kualitas proses atau produksi secara multivariat. Metode ini digunakan untuk mengendalikan rata-rata proses karakteristik kualitasnya lebih dari satu dan diduga saling berhubungan (Montgomery, 2013). Struktur data peta T^2 *Hotelling* ditunjukkan pada Tabel 2.1

Apabila μ dan Σ tidak diketahui, maka perlu untuk mengestimasi μ dan Σ dari sampel berukuran n , dengan asumsi proses sudah terkendali seperti yang ditampilkan pada persamaan berikut.

$$\bar{X}_{.jk} = \frac{1}{n} \sum_{i=1}^n X_{ijk} \quad (2.14)$$

$$S_{.jk} = \frac{1}{n-1} \sum_{i=1}^n (X_{ijk} - \bar{X}_{.jk})^2 \quad (2.15)$$

X_{ijk} adalah pengamatan ke-i pada karakteristik kualitas ke-j pada subgrup ke-k, sehingga matrik varian kovarian S dari rata-rata sampel berukuran $p \times p$ dapat dibentuk seperti pada persamaan (2.5). Rata-rata dari sampel matrik kovarian S adalah penduga Σ yang tidak bias ketika prosesnya terkendali. Matrik kovarian S digunakan untuk mengestimasi Σ dan vektor $\bar{\bar{X}}_{.j}$ digunakan sebagai nilai vektor rata-rata proses yang terkendali, jika menaksir μ dari $\bar{\bar{X}}_{.j}$ dan Σ dengan S, statistik uji pada peta kendali T^2 *Hotelling* menjadi

$$T^2 = n \left(\bar{X}_{ij.} - \bar{\bar{X}}_{.j} \right)^T S^{-1} \left(\bar{X}_{ij.} - \bar{\bar{X}}_{.j} \right) \quad (2.16)$$

Tabel 2.1 Struktur Data Peta Kendali T^2 Hotelling

Subgrup (k)	Sampel tiap subgrup	Karakteristik Kualitas (j)				
		X ₁	...	X _j	...	X _p
1	1	X ₁₁₁	...	X _{1j1}	...	X _{1p1}
	:	:	:	:	:	:
	i	X _{i11}	...	X _{ij1}	...	X _{ip1}
	:	:	:	:	:	:
	n	X _{n11}	...	X _{nj1}	...	X _{np1}
	\bar{X}	$\bar{X}_{.11}$:	$\bar{X}_{.j1}$:	$\bar{X}_{.p1}$
	S^2	$S^2_{.11}$...	$S^2_{.j1}$...	$S^2_{.p1}$
:	:	:	:	:	:	:
k	1	X _{11k}	...	X _{1jk}	...	X _{1pk}
	:	:	:	:	:	:
	i	X _{i1k}	...	X _{ijk}	...	X _{ipk}
	:	:	:	:	:	:
	n	X _{n1k}	...	X _{njk}	...	X _{npk}
	\bar{X}	$\bar{X}_{.1k}$:	$\bar{X}_{.jk}$:	$\bar{X}_{.pk}$
	S^2	$S^2_{.1k}$...	$S^2_{.jk}$...	$S^2_{.pk}$
:	:	:	:	:	:	:
m	1	X _{11m}	...	X _{1jm}	...	X _{1pm}
	:	:	:	:	:	:
	i	X _{i1m}	...	X _{ijm}	...	X _{ipm}
	:	:	:	:	:	:
	n	X _{n1m}	...	X _{njm}	...	X _{npm}
	\bar{X}	$\bar{X}_{.1m}$:	$\bar{X}_{.jm}$:	$\bar{X}_{.pm}$
	S^2	$S^2_{.1m}$...	$S^2_{.jm}$...	$S^2_{.pm}$
Rata-rata keseluruhan		$\bar{\bar{X}}_{.1.}$...	$\bar{\bar{X}}_{.j.}$...	$\bar{\bar{X}}_{.p.}$
Varian Keseluruhan		$S^2_{.1.}$...	$S^2_{.j.}$...	$S^2_{.p.}$

Dimana

- X_{ijk} = Nilai pengamatan pada observasi ke-i, karakteristik kualitas ke-j dan subgroup ke-k
- i = Banyaknya sampel atau ukuran subgroup sejumlah n
- j = Banyaknya karakteristik kualitas sejumlah p
- k = Banyaknya subgroup sejumlah m

untuk mengetahui apakah proses terkendali atau tidak maka batas kendali terdiri dari dua fase, dimana tujuan utama fase 1 atau biasa disebut *retrospective analysis* yaitu untuk mendapatkan pengamatan yang berada dalam batas kendali atau dapat dikatakan prosesnya terkendali, sehingga batas kendali dapat digunakan untuk fase 2, yang merupakan monitoring produksi dimasa depan (Alt, 1985). Batas kendali atas (BKA) dan batas kendali bawah (BKB) pada peta kendali T^2 Hotelling fase 1 adalah sebagai berikut.

$$\text{BKA} = \frac{p(m-1)(n-1)}{mn-m-p+1} F_{a,p,mn-m-p+1} \quad (2.17)$$

$$\text{BKB} = 0$$

Pada fase 2 apabila peta kendali T^2 Hotelling digunakan berdasarkan fase 1, maka batas kendalinya menjadi

$$\text{BKA} = \frac{p(m+1)(n-1)}{mn-m-p+1} F_{a,p,mn-m-p+1} \quad (2.18)$$

$$\text{BKB} = 0$$

Nilai $F_{a,p,mn-m-p+1}$ merupakan nilai yang didapatkan dari tabel distribusi F dengan α ditetapkan oleh peneliti dan derajat bebas p dan mn-m-p+1.

2.4.3 Peta Kendali *Generalized Variance*

Peta kendali *general variance* ($|S|$) merupakan salah satu alat untuk mengontrol variabilitas proses dimana data pengamatan bersifat multivariabel (Djauhari, 2005). Pengendalian kualitas terhadap variabilitas proses sangat penting dilakukan. Variabilitas proses dinyatakan sebagai matrik kovarian Σ berukuran $p \times p$. Diagonal utama dari

matrik ini adalah variasi dari variabel proses secara individual dan data selain diagonal utama adalah kovarians. Matriks kovarian Σ biasa ditaksir oleh matrik kovarian sampel S berdasarkan analisis sampel pendahuluan. Berikut adalah taksiran *mean* dan varians dari $|S|$:

$$E(|S|) = b_1 |\Sigma| \quad (2.19)$$

$$Var(|S|) = b_2 |\Sigma|^2 \quad (2.20)$$

dimana

$$b_1 = \frac{1}{(n-1)^p} \prod_{i=1}^p (n-i) \quad (2.21)$$

dan

$$b_2 = \frac{1}{(n-1)^{2p}} \prod_{i=1}^p (n-i) \left[\prod_{j=1}^p (n-j+2) - \prod_{j=1}^p (n-j) \right] \quad (2.22)$$

Sehingga batas kendali diagram control untuk $|S|$ adalah

$$BKA = \frac{|S|}{b_1} \left(b_1 + \sqrt{3b_2} \right) \quad (2.23)$$

$$\text{Garis Tengah} = \bar{|S|} \quad (2.24)$$

$$BKB = \frac{|S|}{b_1} \left(b_1 - \sqrt{3b_2} \right) \quad (2.25)$$

2.5 Kapabilitas Proses

Analisis kemampuan proses dapat berguna sepanjang putaran produk, termasuk aktivasi pengembangan sebelum produksi, analisis variabilitas relatif terhadap spesifikasi produk dan membantu pengembangan produksi dalam mengurangi banyak variabilitas. Aktivasi ini biasa disebut dengan analisis kemampuan proses (Montgomery, 2009)

Kapabilitas proses merupakan studi keteknikan yang digunakan untuk menaksir kemampuan proses. Analisis ke-

mampuan proses adalah bagian yang sangat penting dari keseluruhan program peningkatan kualitas (Montgomery, 2013).

Proses dikatakan kapabel jika berada dalam keadaan terkendali, memenuhi batas spesifikasi serta memiliki tingkat presisi dan akurasi yang tinggi.

Indeks kapabilitas multivariat dapat ditentukan dengan syarat hasil pengontrolan proses terkendali dan data berdistribusi normal multivariat (Kotz & Johnson, 1993). Indeks kapabilitas multivariat dapat dihitung melalui persamaan sebagai berikut,

$$Cp = \frac{\mathbf{K}}{\chi_{P;0,9973}} \left(\frac{(n-1)p}{\mathbf{A}} \right)^{0,5} \quad (2.26)$$

Dengan p adalah banyaknya karakteristik kualitas, $\chi_{P;0,9973}$ adalah nilai distribusi *chi-square* dengan probabilitas ketidaksesuaian 0,27% dan derajat bebas p . \mathbf{K} adalah proses sebenarnya yang diperoleh dari \mathbf{K}^2 .

$$\mathbf{K}^2 = (\mathbf{X}_j - \boldsymbol{\xi})' \mathbf{V}_0^{-1} (\mathbf{X}_j - \boldsymbol{\xi}) \quad (2.27)$$

\mathbf{V}_0^{-1} adalah *invers* matriks varian kovarian dari semua variabel karakteristik kualitas. $\boldsymbol{\xi}$ merupakan nilai target dari batas spesifikasi setiap variabel karakteristik kualitas. Dengan \mathbf{G}^{-1} adalah *invers* dari matriks $\mathbf{X}'\mathbf{X}$ yang diperoleh dari nilai target ($\boldsymbol{\xi}$) dengan batas spesifikasi setiap variabel karakteristik kualitas dan vektor rata-rata (\mathbf{A}) dari setiap karakteristik kualitas.

$$\boldsymbol{\xi} = \frac{\mathbf{B}\mathbf{S}\mathbf{A} + \mathbf{B}\mathbf{S}\mathbf{B}}{2} \quad (2.28)$$

$$\mathbf{A} = \sum_{k=1}^m \left(\bar{X}_{.jk} - \bar{\bar{X}}_{.j.} \right) \mathbf{G}^{-1} \left(\bar{X}_{.jk} - \bar{\bar{X}}_{.j.} \right) \quad (2.29)$$

BSA : Vektor $p \times 1$ yang berisi BSA masing-masing karakteristik kualitas

BSB : Vektor $p \times 1$ yang berisi BSB masing-masing karakteristik kualitas

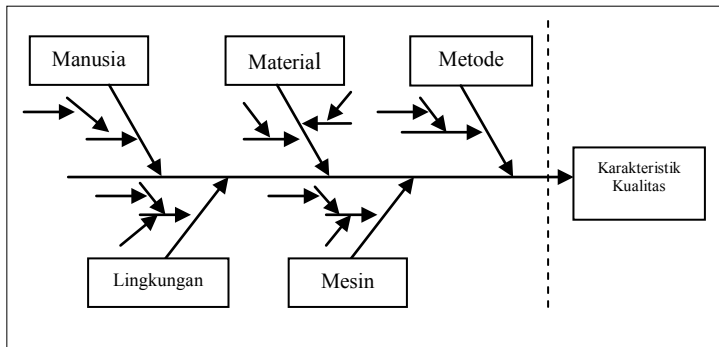
Hubungan kapabilitas proses dengan level *sigma* yaitu jika proses rata-rata sebenarnya sama dengan rata-rata dari spesifikasi perusahaan, maka dapat diketahui nilai $C_p = 1$ dan jarak dari rata-rata proses sesungguhnya terhadap batas spesifikasi perusahaan yang telah ditentukan adalah 3σ .

$$\text{Sigma Level} = 3 \times C_p \quad (2.30)$$

2.6 Diagram *Ishikawa*

Diagram *Ishikawa* disebut juga *Cause and Effect Diagram* adalah suatu diagram yang menunjukkan hubungan antara sebab dan akibat. Diagram sebab akibat sering juga disebut *Ishikawa Diagram* atau diagram tulang ikan (Heizer dan Render, 2006). Diagram ini digunakan untuk menganalisis persoalan dan faktor yang menimbulkan persoalan tersebut. Dengan demikian, diagram tersebut dapat digunakan untuk menjelaskan sebab-sebab suatu persoalan. Pada dasarnya diagram *cause and effect diagram* dapat digunakan untuk kebutuhan-kebutuhan seperti:

- a. Menyimpulkan sebab-sebab variasi dalam proses
- b. Membantu mengidentifikasi akar penyebab dari masalah
- c. Membantu membangkitkan ide-ide untuk solusi masalah
- d. Memberikan petunjuk dari macam-macam data yang dikumpulkan
- e. Membantu dalam penyelidikan fakta lebih lanjut.



Gambar 2.1 Diagram *Ishikawa*

2.7 Six sigma

Six sigma merupakan sebuah metodologi terstruktur untuk memperbaiki proses yang difokuskan pada pengendalian kualitas dengan mendalami sistem produksi perusahaan secara keseluruhan. Tujuannya untuk mengurangi variasi proses sekaligus mengurangi cacat produk atau jasa yang tidak sesuai dengan spesifikasi yang diinginkan, memangkas waktu pembuatan produk dan menghilangkan biaya. (Gasperz, 2007).

Konsep *Six sigma* Motorola merupakan suatu metode atau teknik pengendalian dan peningkatan kualitas dramatis yang diterapkan pertama kali oleh perusahaan Motorola sejak tahun 1986. Istilah *six sigma* diambil dari terminologi statistika dimana sigma (σ) adalah standar deviasi dalam distribusi normal dengan peluang $\pm 6\sigma$. Kondisi ini setara dengan peluang terjadi produk tidak cacat adalah 99,9996% atau 3,4 kegagalan per sejuta kesempatan (DPMO). Hal ini berarti proses berjalan dengan baik karena akan terdapat empat buah produk cacat dari 1.000.000 produk yang dihasilkan.

Konsep *Six sigma* yang dikembangkan Motorola berasumsi pada kondisi proses yang mengikuti distribusi normal tetapi yang mengizinkan rata-rata (*mean*) proses bergeser 1,5 sigma dari nilai spesifikasi target kualitas (*T*) yang diinginkan pelanggan, ditunjukkan dalam Tabel 2.4 dan Lampiran O (Gasperz, 2007).

Tabel 2.2 Tingkat *Sigma* Berdasarkan Konsep Motorola

<i>Spec. Limit</i>	<i>Percent</i>	<i>Defective ppm</i>
$\pm 1\sigma$	30,23	697.700
$\pm 2\sigma$	69,13	308/700
$\pm 3\sigma$	93,32	66.810
$\pm 4\sigma$	99,2790	6.210
$\pm 5\sigma$	99,97670	233
$\pm 6\sigma$	99,999660	3,4

Indikator keberhasilan *six sigma* salah satunya yaitu *level sigma* yang merupakan indikator *performance* karakteristik mutu. *Level sigma* berkaitan dengan *Part Per Million* (PPM), *Defect Per Million Opportunity* (DPMO) atau kapabilitas proses (*Cp*) seperti yang ditampilkan pada persamaan (2.30).

$$DPMO = \frac{DPU}{m} \times 1.000.000 \quad (2.31)$$

2.8 Metodologi Peningkatan *Six Sigma*

Terdapat banyak metode perbaikan yang dapat digunakan untuk memperbaiki proses. Kebanyakan berdasarkan langkah-langkah yang dikenalkan oleh W. Edwards Deming yaitu PDCA (*Plan-Do-Check-Action*), SEA (*Select-Experiment-Adapt*), SEL (*Select-Experiment-Learn*) dan DMAIC (*Define-Measure-Analyze-Improve-Control*)

DMAIC merupakan kunci untuk mencapai kualitas *Six sigma* karena menyediakan metodologi pengendalian data untuk mencapai perbaikan proses yang tangguh dengan mengurangi cacat. Tahapan dalam DMAIC meliputi :

a. *Tahap Define*

Tahap *Define* yaitu mendefinisikan secara formal sasaran peningkatan proses yang konsisten dengan permintaan atau kebutuhan pelanggan dan strategi perusahaan sedang berlangsung.

b. Tahap Measure

Tahap *Measure* yaitu mengukur kinerja proses pada saat sekarang agar dapat dibandingkan dengan target yang ditetapkan.

c. Tahap Analyze

Tahap *Analyze* yaitu menganalisis hubungan sebab-akibat berbagai faktor yang dipelajari untuk mengetahui faktor-faktor dominan yang perlu dikendalikan.

d. Tahap Improve

Pada tahap *improve* dilakukan pengoptimasian proses dengan cara membuat solusi-solusi khusus yang kemudian diterapkan pada proses produksi selanjutnya, berdasarkan hasil analisis menggunakan *statistics tools*.

e. Tahap Control

Tahap *control* merupakan tahap terakhir dalam proyek peningkatan *Six sigma*. Dalam tahap *control*, seluruh usaha-usaha peningkatan yang ada di kendalikan (simulasi) atau dicapai secara teknis dan seluruh usaha tersebut kemudian di dokumentasikan dan di sebarluaskan atau di sosialisasikan ke segenap karyawan perusahaan.

2.9 Proses Produksi Produk Tepung Terigu “Palapa” di PT. Pioneer Flour Mill Industries

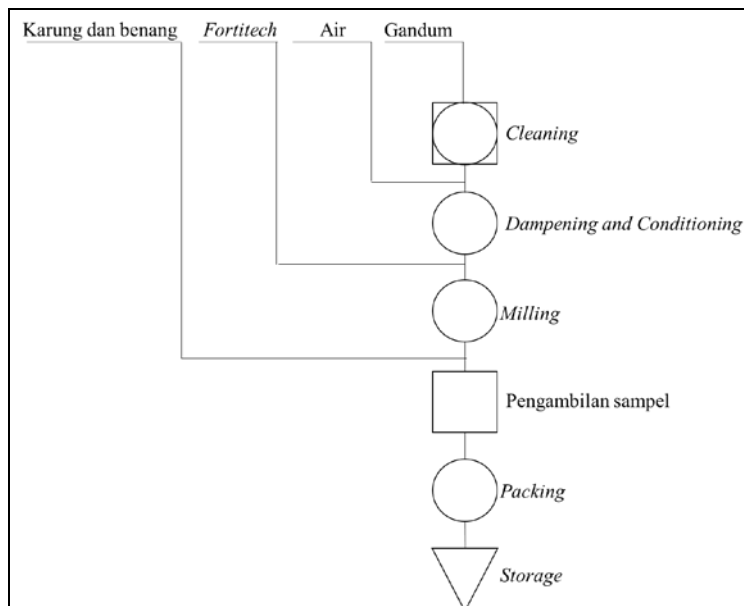
PT. Pioneer Flour Mill Industries merupakan anak perusahaan dari PT. Shindo Tiara Tunggal yang didirikan pada tanggal 19 Januari 2009. PT. Pioneer Flour Mill Industries bergerak dibidang industri tepung terigu yang berbahan dasar dari gandum.

Proses produksi tepung terigu meliputi proses penggilangan gandum yang bertujuan untuk mendapatkan tepung terigu dengan kualitas dan kuantitas sesuai dengan standar yang telah ditetapkan. Peralatan produksi yang digunakan hampir semua dilengkapi dengan sensor komputer, sehingga semua pekerjaan dapat dikendalikan dengan komputer. Pekerja di bagian produksi bertugas untuk mengawasi dan mengontrol

semua proses produksi yang telah dikendalikan oleh sistem komputer.

Aliran proses pengolahan gandum dari bahan baku sampai menjadi tepung secara garis besar adalah mulai dari bahan baku, proses pembersihan (*cleaning*), proses penambahan air (*dampening* dan *conditioning*), proses penggilingan (*milling*) dan pengemasan tepung terigu yang sudah jadi (*packing*), serta penyimpanan di gudang penyimpanan produk (*storage*). Seperti yang tertera pada Gambar 2.2.

Pengambilan sampel dilakukan pada proses sebelum *packing*. Sebelum masuk kedalam karung, tepung terigu diambil sekali untuk dijadikan sampel dan dibawa ke Ruang Laboratorium untuk dilakukan pengujian *moisture*, *ash* dan *gluten* setiap 2 jam sekali.



Gambar 2.2 Operation Process Chart (OPC) Manufacturer PT. Pioneer Flour Mill Industries

BAB III

METODOLOGI PENELITIAN

Salah satu metodologi *Six sigma* yaitu DMAIC (*Define, Measure, Analyze, Improve dan Control*). Tahapan-tahapan tersebut dilakukan agar dapat meningkatkan level *sigma*, masing-masing tahapan dijelaskan sebagai berikut.

3.1 Tahap *Define*

Tahap *Define* merupakan tahap awal / inisiasi dari permasalahan yang akan dipecahkan, pada tahapan define dilakukan identifikasi terhadap permasalahan yang ada, mendefinisikan proses yang menghasilkan masalah yang akan mempengaruhi kualitas produk dan menentukan tujuan penyelesaian, seperti yang telah dipaparkan pada subbab Pendahuluan.

3.2 Tahap *Measure*

Tahap *Measure* merupakan tahapan langkah operasional kedua dalam rangka peningkatan kualitas. Pada tahap ini dilakukan pengukuran dan pengenalan karakteristik kualitas dari produk yang akan diteliti yaitu *Critical To Quality* dan metode pengambilan sampel.

3.2.1 *Critical To Quality*

Critical To Quality yang digunakan dalam mengukur kualitas tepung terigu “Palapa” berdasarkan hasil uji laboratorium adalah sebagai berikut.

1. *Moisture* (X_1)

Moisture merupakan kandungan kadar air yang ada pada tepung, jika kadar air tidak sesuai dengan spesifikasi dapat mengakibatkan tepung akan berjamur dan bau

apek. Alat ukur yang digunakan untuk menguji *moisture* adalah mesin destilasi. Standar *moisture* yang ditentukan oleh perusahaan yaitu 13-14%.

2. *Ash* (X_2)

Ash merupakan kadar abu yang terkandung dalam gandum. *Ash* dapat mempengaruhi warna dan kandungan gluten pada proses produksinya. Sehingga semakin kecil kadar abu, semakin bagus pula kualitas tepung yang dihasilkan. Alat ukur yang digunakan yaitu *muffle furnace*. Standar *ash* yang ditentukan perusahaan yaitu 0% – 0,6%

3. *Gluten* (X_3)

Gluten merupakan kandungan yang bersifat kenyal dan elastis. Alat yang digunakan untuk menguji *gluten* adalah *gluten matic*. Spesifikasi kadar *gluten* yang ditentukan oleh perusahaan yaitu 22% - 26%.

Berdasarkan ketiga variabel penelitian tersebut, diduga terdapat hubungan antar variabel. Apabila *moisture* atau kadar air semakin tinggi, maka semakin kecil pula *ash* yang dihasilkan, sedangkan jika *ash* semakin kecil maka *gluten* atau tingkat kekenyalan juga semakin kecil.

3.2.2 Metode Pengambilan Sampel

Penelitian ini menggunakan data sekunder yaitu hasil produksi tepung terigu “Palapa” berdasarkan uji laboratorium. Data diperoleh dari divisi *Quality Control* pada proses produksi periode 5 Januari - 31 Maret 2015 pada fase 1, dan periode 1 April – 20 Mei 2015 pada fase 2 di PT. Pioneer Flour Mill Industries.

Pengambilan sampel tepung terigu “Palapa” dilakukan sebelum masuk ke proses *packing*, dimana setiap 2 jam sekali

sampel tersebut diambil, karena subgrup yang digunakan adalah hari maka setiap harinya terdapat 8 sampel pengamatan. Proses produksi tepung terigu “Palapa” berlangsung pada hari Senin, Selasa dan Rabu disetiap minggunya, selama 2 *shift* yaitu *shift* 1 pada pukul 07.00 – 15.00 dan *shift* 2 pada pukul 16.00 - 23.00. Adapun organisasi data penelitian ini dapat dilihat pada Tabel 2.1 dengan menetapkan beberapa nilai sebagai berikut.

- (i) m = banyaknya subgrup dalam hari sebanyak 34 pada fase 1 dan sebanyak 22 pada fase 2
- (ii) n = ukuran tiap subgrup sebanyak 8 (diambil setiap 2 jam sekali)
- (iii) p = banyaknya karakteristik kualitas sebanyak 3

3.3 Tahap *Analyze*

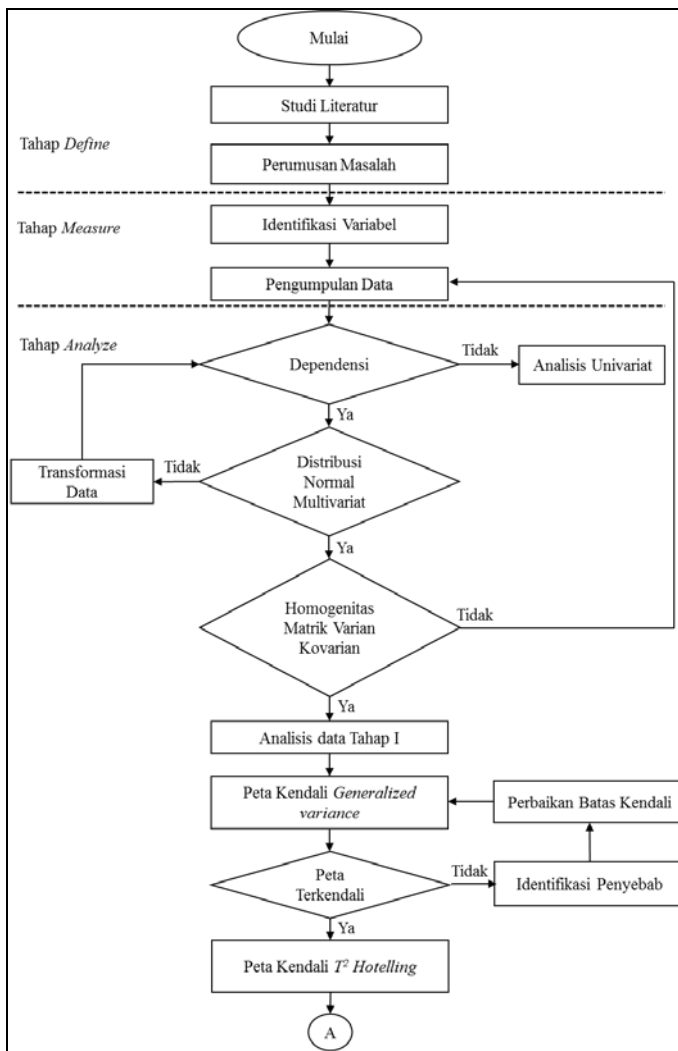
Setelah melakukan tahap *Define* dan *Measure*, tahapan selanjutnya yaitu *Analyze* atau menganalisis data hasil pengamatan pada fase 1 dengan langkah-langkah sebagai berikut.

- a. Menguji korelasi antar variabel.
- b. Mengecek distribusi normal multivariat.
- c. Menguji homogenitas matrik varian kovarian.
- d. Membuat peta kendali *generalized variance* untuk mengontrol variabilitas proses.
- e. Membuat peta kendali T^2 *Hotelling* untuk mengontrol *mean*.
- f. Mengidentifikasi faktor penyebab yang diketahui dengan diagram sebab akibat (*Ishikawa*).
- g. Menghitung kemampuan proses dan level sigma.

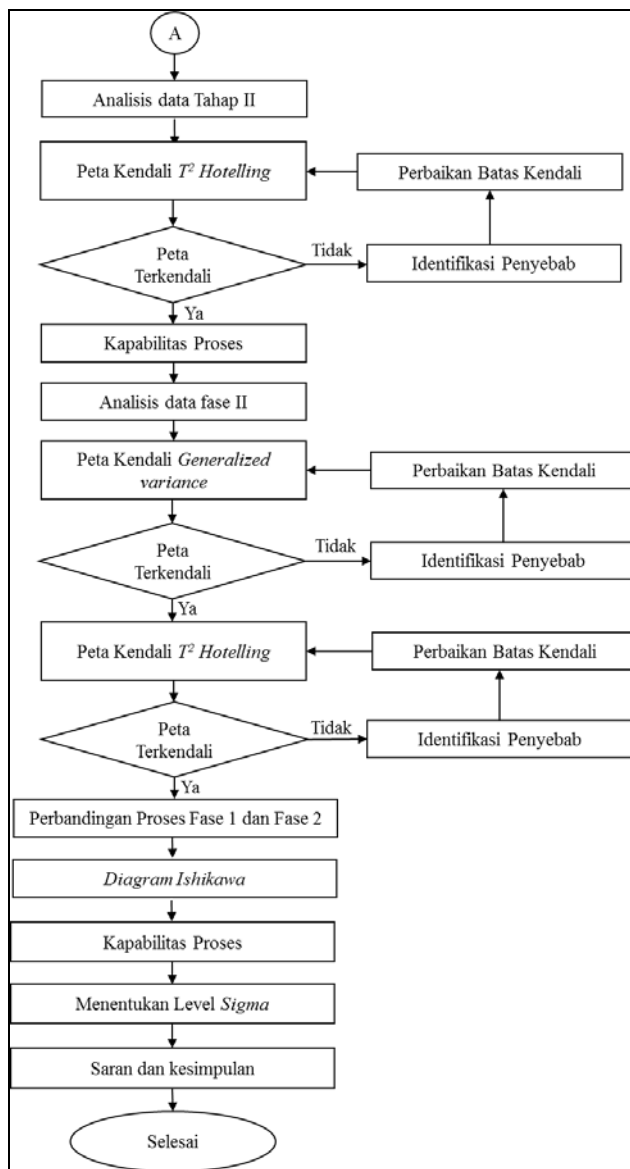
Setelah dilakukan analisis pada Fase 1, langkah selanjutnya melakukan analisis pada fase 2 dengan langkah-langkah sebagai berikut.

- a. Menguji korelasi antar variabel.
- b. Menguji distribusi normal multivariat.
- c. Menguji homogenitas matrik varian kovarian. untuk mengetahui kehomogenan data.
- d. Membuat peta kendali *generalized variance* untuk mengontrol variabilitas proses secara multivariat dengan menggunakan batas pengendali dari peta *generalized variance* fase 1.
- e. Membuat peta kendali T^2 *Hotelling* untuk mengontrol *mean* secara multivariat menggunakan batas pengendali dari peta T^2 *Hotelling* fase 1.
- f. Mengidentifikasi faktor penyebab yang diketahui dengan diagram sebab akibat (*Ishikawa*).
- g. Menghitung kemampuan proses dan level sigma.

Diagram alir (*Flow Chart*) menggunakan pendekatan *Six sigma* adalah sebagai berikut.



Gambar 3.3 Flow Chart Six sigma



Gambar 3.4 Lanjutan Flow Chart Six sigma

BAB IV

ANALISIS DATA DAN PEMBAHASAN

Pada bab IV ini akan membahas tahap *analyze*. Pada tahap tersebut data dibagi menjadi dua fase untuk mengetahui pergeseran proses yaitu fase 1 pada periode 5 Januari - 31 Maret 2015 sedangkan fase 2 yaitu pada periode 1 April - 20 Mei 2015. Peta kendali yang digunakan untuk mengontrol variasi yaitu peta kendali *generalized variance*, sedangkan untuk mengontrol proses *mean* digunakan peta kendali T^2 *Hotelling*. Namun terlebih dahulu dilakukan pegecekan asumsi diantaranya dependensi variabel, distribusi normal multivariat dan homogenitas matrik varian kovarian. Setelah data produksi tepung terigu "Palapa" terkendali secara varians dan rata-rata, dilakukan perhitungan indeks kapabilitas proses dan level *Sigma* secara multivariat.

4.1 Analisis Statistika Pada Fase 1

Analisis statistika fase 1 yaitu analisis yang digunakan untuk mendapatkan pengamatan yang berada dalam batas kendali (*Retrospective Analysis*). Hasil proses produksi fase 1 yaitu pada periode 5 Januari sampai 31 Maret 2015 dengan variabel penelitiannya yaitu *moisture*, *ash* dan *gluten*.

4.1.1 Deskripsi Data

Deskripsi data digunakan untuk mengetahui informasi data secara umum. Hasil deskriptif data pada variabel *moisture*, *ash* dan *gluten* ditampilkan pada Tabel 4.2.

Tabel 4.2 Deskripsi Data Pada Fase 1

Variabel	Mean (%)	Stdev	Min	Max	BSB	BSA
Moisture	13,4930	0,28007	12,88	14,25	13	14
Ash	0,5471	0,02982	0,46	0,62	0	0,6
Gluten	23,6347	2,20594	17,66	29,02	22	26

Pada Tabel 4.2 terlihat bahwa nilai rata-rata dari variabel *moisture*, *ash* dan *gluten* masing-masing adalah 13,49 %, 0,54% dan 23,63% dimana ketiga variabel tersebut berada dalam batas spesifi-

kasi, akan tetapi nilai minimum maupun nilai maksimum ketiga variabel berada diluar batas spesifikasi yang ditetapkan oleh perusahaan.

4.1.2 Uji Dependensi Variabel

Asumsi pertama yang harus dipenuhi yaitu variabel karakteristik kualitas harus berhubungan atau berkorelasi secara multivariat, untuk mengetahui dependensi antar variabel dapat menggunakan uji *Bartlett*. Hipotesis uji *Bartlett* menggunakan α sebesar 5% adalah sebagai berikut.

$$H_0 : \mathbf{P} = \mathbf{I} \text{ (Matrik korelasi = Matrik Identitas)}$$

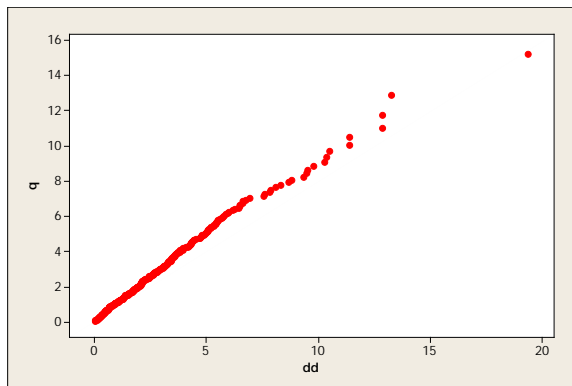
$$H_1 : \mathbf{P} \neq \mathbf{I} \text{ (Matrik korelasi} \neq \text{Matrik Identitas)}$$

Dengan menggunakan persamaan (2.1) dan bantuan *software minitab* diperoleh nilai *Chi-square* sebesar 16,792 lebih besar dari $\chi^2_{(0,05;3)}$ yaitu 0,3518. Selain itu nilai *P-Value* sebesar 0,001 seperti yang ditampilkan pada Lampiran C memiliki nilai lebih kecil dari α sebesar 0,05. Sehingga keputusannya adalah H_0 ditolak, yang artinya antar variabel *moisture*, *ash* dan *gluten* memiliki korelasi secara multivariat.

4.1.3 Pengecekan Distribusi Normal Multivariat

Untuk mengetahui apakah *moisture*, *ash* dan *gluten* berdistribusi normal multivariat maka digunakan perhitungan jarak kuadrat untuk setiap pengamatannya. Dengan menggunakan data pada lampiran A dengan persamaan (2.4) dan bantuan paket program *minitab*, diperoleh nilai *t* pada Lampiran D sebesar 0,513 lebih besar dari 0,5. Sehingga data *moisture*, *ash* dan *gluten* pada produksi tepung terigu “Palapa” dikatakan berdistribusi normal multivariat.

Selain berdasarkan nilai presentase jarak d_{jk}^2 atau (*t*), distribusi normal multivariat dapat dilihat secara visual pada Gambar 4.1 menggunakan *Chi-square plot*.



Gambar 4.1 Chi-square Plot Pada Fase 1

Secara visual pada Gambar 4.1 menunjukkan terdapat titik-titik merah membentuk garis lurus yang menandakan bahwa sebaran data mengikuti distribusi normal multivariat.

4.1.4 Uji Homogenitas Matrik Varian Kovarian

Homogenitas matrik varian kovarian merupakan pengujian yang digunakan untuk mengetahui apakah data produksi tepung terigu ‘Palapa’ homogen atau heterogen (tidak homogen). Hipotesis dari homogenitas matrik varian kovarian menggunakan *Box’s M* dan taraf signifikansi 5% adalah sebagai berikut.

H_0 : Data produksi tepung terigu ‘Palapa’ pada fase 1 homogen

H_1 : Data produksi tepung terigu ‘Palapa’ pada fase 1 tidak homogen

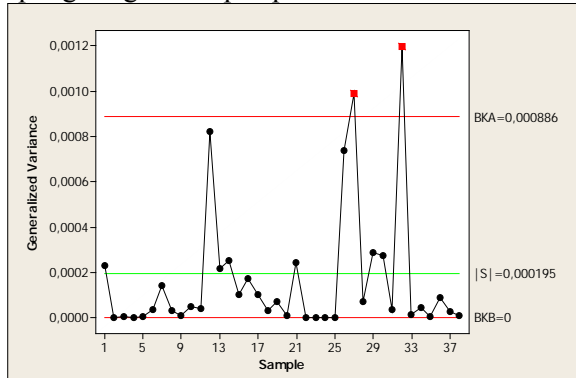
Dengan menggunakan persamaan (2.7) diperoleh nilai *Box’s M* sebesar 8,575 dengan nilai P-value sebesar 0,205 pada lampiran F lebih besar dari α (0,05). Keputusannya adalah H_0 gagal ditolak yang artinya data produksi tepung terigu ‘Palapa’ pada fase 1 homogen.

4.1.5 Peta Kendali Multivariat

Setelah memenuhi asumsi dependensi variabel, distribusi normal multivariat dan homogenitas matrik varian kovarian. Analisis selanjutnya yaitu membuat peta kendali *generalized variance* untuk mengontrol varians dan dilanjut membuat peta kendali T^2 *Hotelling* untuk mengontrol *mean*.

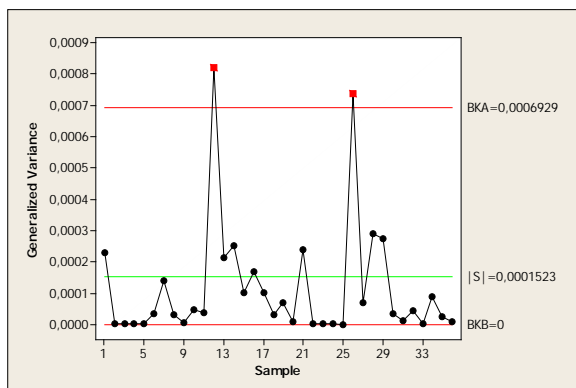
a. Peta Kendali *Generalized Variance*

Berikut adalah hasil analisis pengendalian variabilitas proses produksi tepung terigu “Palapa” pada fase 1.



Gambar 4.2 Peta Kendali *Generalized Variance* Fase 1

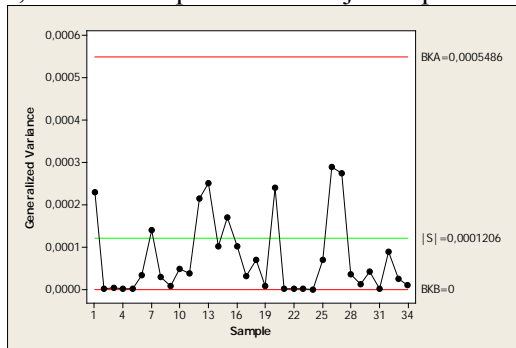
Pada Gambar 4.2 dapat dilihat secara visual bahwa terdapat data yang *out of control*, yaitu pada subrgrup ke-27 dan 23. Berdasarkan informasi informal hal tersebut disebabkan setelan mesin yang tidak sesuai, andaikata pengamatan *out of control* tersebut dihilangkan. Maka peta kendali yang telah direvisi menjadi seperti pada Gambar 4.3



Gambar 4.3 Revisi 1 Pada Peta Kendali *Generalized Variance* Fase 1

Revisi peta kendali *ganeralized variance* pada gambar 4.3 diketahui masih belum terkendali, terdapat data *out of control* pada subgrup ke-12 dan 26 yang disebabkan karena *over conditioning* dan

suhu di Bin yang begitu panas karena faktor lingkungan. Andaikan dilakukan revisi ulang kembali yaitu dengan menghapus data yang *out of control*, maka revisi peta akan menjadi seperti Gambar 4.4.

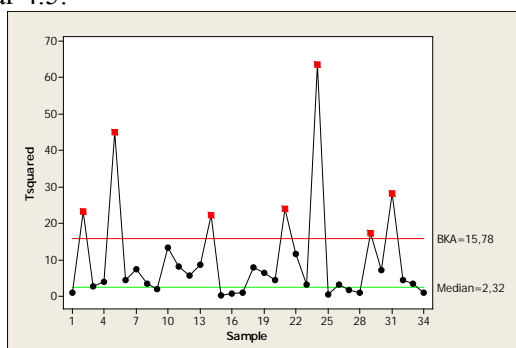


Gambar 4.4 Revisi 2 Peta Kendali *Generalized Variance* Fase 1

Gambar 4.4 menunjukkan bahwa peta sudah terkendali secara varians, dengan nilai batas tengahnya sebesar 0,0001206, sehingga langkah selanjutnya dapat membuat peta kendali T^2 Hotelling pada produk tepung Terigu “Palapa” fase 1.

b. Peta Kendali T^2 Hotelling

Berikut adalah pengendalian kualitas pada tepung terigu “Palapa” menggunakan peta kendali T^2 Hotelling. Seperti yang ditampilkan pada Gambar 4.5.



Gambar 4.5 Peta Kendali T^2 Hotelling Fase 1

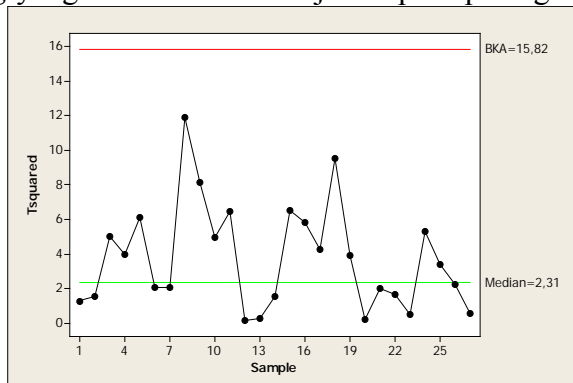
Secara visual terdapat titik-titik merah pada Gambar 4.5, hal ini menunjukkan bahwa peta belum terkendali, dikarenakan adanya

data *out of control* pada subgrup ke 2,5,14,21,24,29 dan 31. Berdasarkan informasi informal dari buku kejadian perusahaan, diketahui penyebab peta *out of control* seperti pada Tabel 4.3.

Tabel 4.3 Penyebab *Out Of Control* Pada Fase 1

Point	Tanggal	Variabel	Keterangan
2	6 januari 2015	<i>Moisture</i> <i>Ash</i>	Setting Flow meter air berubah
5	13 Januari 2015	<i>Moisture</i> <i>Ash</i>	kebocoran shifter
14	4 Februari 2015	<i>Moisture</i> <i>Gluten</i>	mesin <i>rolling</i> tidak optimal
21	23 Februari 2015	<i>Moisture</i>	<i>over conditioning</i>
24	2 Maret 2015	<i>Moisture</i> <i>Ash</i>	aspirasi <i>dry stone</i> belum optimal
29	18 Maret 2015	<i>Moisture</i> <i>Ash</i>	<i>over conditioning</i>
31	24 Maret 2015	<i>Moisture</i> <i>Ash</i> <i>Gluten</i>	produk mampat disalah satu screen

Andaikata jika pengamatan *out of control* tersebut dibuang, karena faktor yang diketahui, maka peta kendali T^2 *Hotelling* yang telah direvisi menjadi seperti pada gambar 4.6



Gambar 4.6 Revisi Pada Peta Kendali T^2 *Hotelling* Fase 1

Gambar 4.6 merupakan peta T^2 Hotelling yang sudah direvisi dan terkendali, dengan nilai median sebesar 2,31. Secara visual hal ini terlihat jelas bahwa tidak ada titik-titik atau data yang melebihi garis Batas Kendali Atas (BKA) dengan nilai sebesar 15,82.

4.2 Analisis Statistika Pada Fase 2

Analisis Statistika fase 2 adalah analisis yang digunakan untuk monitoring hasil proses produksi, dimana periode produksi pada fase 2 yaitu 1 April sampai 20 Mei 2015.

4.2.1 Deskripsi Data

Hasil deskripsi data variabel *moisture*, *ash* dan *gluten* pada fase 2 periode 1 April – 20 Mei 2015 ditampilkan pada Tabel 4.4.

Tabel 4.4 Deskripsi Data Pada Fase 2

Variabel	Mean (%)	Stdev	Min	Max	LCL	UCL
Moisture	13,37	0,32526	12,53	14,12	13	14
Ash	0,54	0,03230	0,44	0,65	0	0,6
Gluten	23,51	2,30160	16,48	30,12	22	26

Pada Tabel 4.4 terlihat bahwa nilai minimum maupun nilai maksimum ketiga variabel berada diluar batas spesifikasi yang ditetapkan oleh perusahaan, namun nilai rata-rata masih didalam batas spesifikasi, diantaranya *moisture* sebesar 13,37%, *ash* sebesar 0,54% dan *gluten* sebesar 23,51% .

4.2.2 Uji Dependensi Variabel

Asumsi awal yang harus terpenuhi yaitu dependensi variabel, sehingga digunakan uji Bartlett untuk mengetahui hubungan antar ketiga variabel *moisture*, *ash* dan *gluten*. Hipotesis uji Bartlett menggunakan α sebesar 5% adalah sebagai berikut.

$H_0 : \mathbf{P} = \mathbf{I}$ (Matrik korelasi = Matrik Identitas)

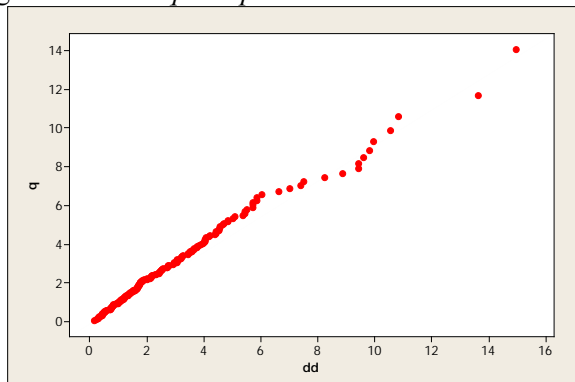
$H_1 : \mathbf{P} \neq \mathbf{I}$ (Matrik korelasi \neq Matrik Identitas)

Dengan menggunakan bantuan software SPSS dan persamaan (2.1) diperoleh nilai *chi-square* sebesar 39,207 lebih besar dari $\chi^2_{(0,05;3)}$ yaitu 0,3518, selain itu nilai *P-Value* sebesar 0,000 lebih kecil dari α sebesar 0,05. Keputusannya adalah H_0 ditolak, yang artinya antar variabel *moisture*, *ash* dan *gluten* memiliki korelasi secara multivariat.

4.2.3 Pengecekan Distribusi Normal Multivariat

Untuk mengetahui apakah *moisture*, *ash* dan *gluten* berdistribusi normal secara multivariat maka digunakan perhitungan jarak kuadrat untuk setiap pengamatannya. Dengan menggunakan data pada lampiran B dengan persamaan (2.4) dan bantuan paket program *minitab*, diperoleh nilai t pada Lampiran E sebesar 0,517 lebih besar dari 0,5. Sehingga data dikatakan berdistribusi normal multivariat.

Selain berdasarkan nilai presentase jarak d_{jk}^2 atau (t), distribusi normal multivariat dapat dilihat secara visual pada Gambar 4.7 menggunakan *Chi-square plot*.



Gambar 4.7 Chi-square Plot Pada Fase 2

Gambar 4.7 menunjukkan bahwa secara visual produksi tepung terigu “Palapa” pada fase 2 berdistribusi normal multivariat, hal ini terlihat dari sebaran data yang mengikuti garis linier.

4.2.4 Uji Homogenitas Matrik Varian Kovarian

Homogenitas matrik varian kovarian merupakan pengujian yang digunakan untuk mengetahui apakah data produksi tepung terigu “Palapa” homogen atau tidak. Dengan taraf signifikansi 5%, Hipotesis dari homogenitas matrik varian kovarian menggunakan uji *Box's M* adalah sebagai berikut.

H_0 : Data produksi tepung terigu “Palapa” homogen

H_1 : Data produksi tepung terigu ‘Palapa” tidak homogen

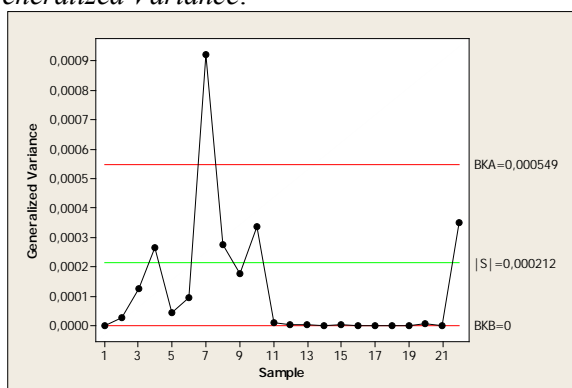
Berdasarkan persamaan (2.7) diperoleh perhitungan melalui *software SPSS* nilai *Box's M* dan *P-value* pada lampiran F sebesar 12,064 dan 0,066 lebih besar dari α (0,05). Keputusannya yaitu H_0 gagal ditolak. Artinya data produksi tepung terigu “Palapa” pada fase 2 yaitu periode 1 April – 20 Mei 2015 homogen.

4.2.5 Peta Kendali Multivariat

Setelah memenuhi asumsi dependensi variabel, distribusi normal multivariat dan homogenitas matrik varian kovarian. Analisis selanjutnya yaitu membuat peta kendali *generalized variance* dan peta kendali T^2 *Hotelling*, dengan menggunakan batas kendali berdasarkan fase 1 yang sudah terkendali.

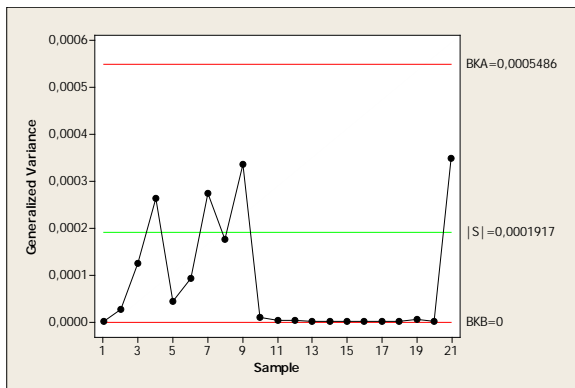
a. Peta Kendali *Generalized variance*

Berikut adalah hasil analisis pengendalian variabilitas proses produksi tepung terigu “Palapa” pada fase 2 menggunakan peta kendali *Generalized Variance*.



Gambar 4.8 Peta Kendali *Generalized variance* Fase 2

Peta kendali *Generalized variance* pada fase 2 ditampilkan pada Gambar 4.8 menggunakan batas pengendali atas pada fase 1 yaitu 0,000549. Terdapat data *out of control* pada subgrup ke-7 yang disebabkan karena kebocoran pada mesin *shifter*, sehingga apabila dilakukan revisi ulang dengan cara menghapus data *out of control* tersebut, peta kendali menjadi seperti Gambar 4.9

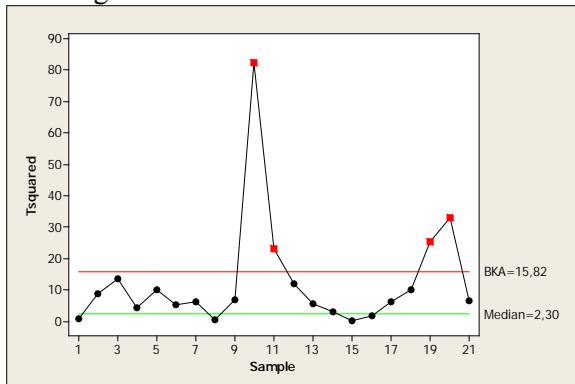


Gambar 4.9 Revisi 1 Peta Kendali *Generalized variance* Fase 2

Revisi peta kendali *generalized variance* yang ditampilkan pada Gambar 4.9 menunjukkan bahwa peta sudah terkendali secara variabilitas. Dengan nilai $|S|$ sebesar 0,0001917 terlihat bahwa tidak ada titik pengamatan yang berada diluar Batas Kendali Atas (BKA).

b. Peta Kendali T^2 Hotelling

Setelah data produksi tepung terigu “Palapa” terkendali secara varians, langkah selanjutnya yaitu membuat peta kendali T^2 Hotelling menggunakan batas pengendali dari fase sebelumnya, dengan hasil sebagai berikut.



Gambar 4.10 Peta Kendali T^2 Hotelling Fase 2

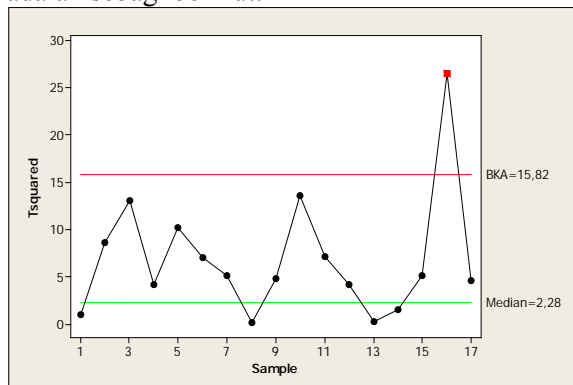
Gambar 4.10 menunjukkan bahwa peta T^2 Hotelling pada fase 2 masih belum terkendali, hal ini dapat dilihat secara visual

bahwa masih terdapat titik-titik merah atau pengamatan yang nilainya melebihi batas pengendali atas sebesar 15,82. Diantaranya yaitu pada subgrup 10,11,19 dan 18 seperti yang ditampilkan pada Tabel 4.5.

Tabel 4.5 Penyebab *Out Of Control* Pada Fase 2

Point	Tanggal	Variabel	Keterangan
10	27 April 2015	Moisture Ash	Overtime Conditioning
11	28 April 2015	Moisture Ash	Aspirasi Dry Stone belum optimal
19	13 Mei 2015	Moisture Ash Gluten	Mesin Roll tidak maksimal
20	19 mei 2015	Moisture Ash	Perubahan settingan Roll

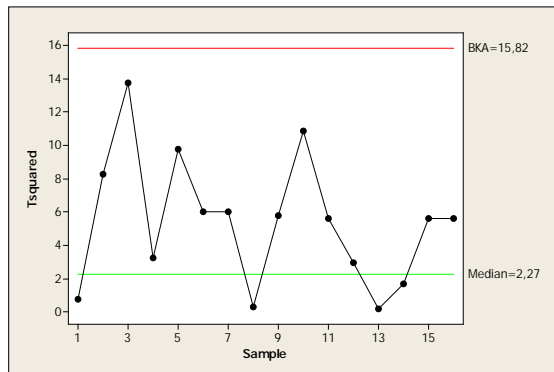
Tabel 4.5 merupakan identifikasi penyebab peta T^2 *Hotelling out of control* berdasarkan informasi informal yang diperoleh dari buku kejadian di PT. Pioneer Flour Mill Industries. Andaikata pengamatan yang *out of control* dibuang, maka peta kendali yang terbentuk adalah sebagai berikut.



Gambar 4.11 Revisi 1 pada Peta Kendali T^2 *Hotelling* Fase 2

Revisi peta kendali T^2 *Hotelling* pada gambar 4.11 diketahui masih belum terkendali, terdapat data *out of control* pada subgrup ke-16 yang disebabkan karena aspirasi dry stone yang kurang optimal, andaikan dilakukan revisi ulang kembali dengan cara

menghapus data *out of control*. Peta kendali yang baru ditunjukkan pada Gambar 4.12.



Gambar 4.12 Revisi 2 Pada Peta Kendali T^2 Hotelling Fase 2

Setelah dilakukan revisi seperti Gambar 4.12, diketahui bahwa peta T^2 Hotelling sudah terkendali dengan nilai median sebesar 2,3 untuk fase 2 pada periode 1 April – 20 Mei 2015.

4.3 Membandingkan Proses Fase 1 dan Fase 2

Setelah dilakukan analisis pengendalian pada fase 1 dan fase 2, langkah selanjutnya yaitu melakukan uji perbandingan proses untuk mengetahui apakah terdapat pergeseran proses pada hasil produksi tepung terigu “Palapa” atau tidak. Hipotesis yang digunakan adalah sebagai berikut.

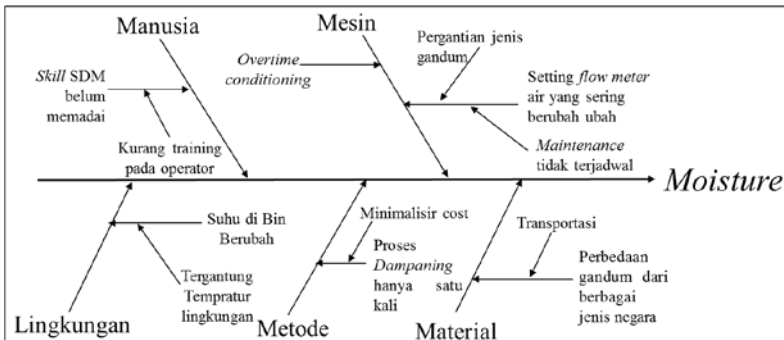
H_0 : Tidak terdapat perbedaan antara fase 1 dan fase 2

H_1 : Terdapat perbedaan pada fase 1 dan fase 2

Berdasarkan persamaan (2.11) dan bantuan paket program SPSS diperoleh nilai *Wilks' Lambda* sebesar 0,926 dan *P-value* sebesar 0,000 lebih kecil dari α yaitu 0,05. Sehingga keputusannya adalah H_0 ditolak, yang artinya terdapat perbedaan atau terjadi pergeseran proses yang signifikan antara produksi pada fase 1 dan fase 2.

4.4 Diagram Ishikawa

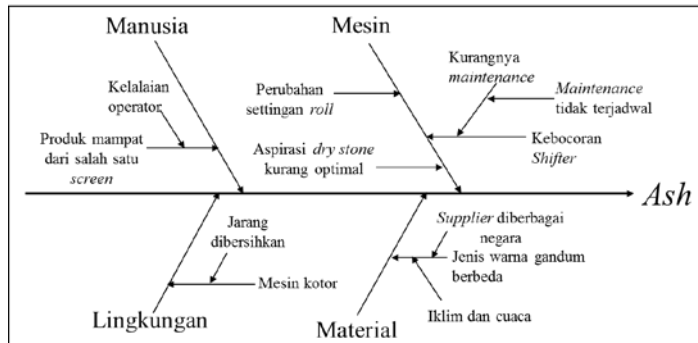
Diagram *Ishikawa* pada umumnya digunakan untuk mengetahui akar dari suatu permasalahan yang terjadi. Akar permasalahan dari *moisture*, *ash* dan *gluten* yang menjadi penyebab *out of control* berdasarkan informasi informal adalah sebagai berikut.



Gambar 4.13 Diagram Ishikawa Pada Variabel Moisture

Gambar 4.13 merupakan diagram *Ishikawa* dari penyebab *out of control* variabel *moisture*. Terdapat beberapa faktor diantaranya yaitu faktor mesin dengan penyebabnya adalah settingan *flowmeter* air yang sering berubah-ubah, hal ini bisa terjadi karena jadwal *maintenance* yang tidak terjadwal dan pergantian jenis gandum. Selain faktor mesin, terdapat pula faktor manusia dengan penyebab *Skill SDM* belum memadai karena kurangnya *training* pada operator. Pada faktor material terdapat jenis gandum yang berbeda negara dari *supplier*, yang menyebabkan jarak *transportasi* berbeda sehingga mempengaruhi kandungan gandum karna faktor perjalanan dan kondisi lingkungan. Kemudian faktor metode dengan penyebab proses *dampening* yang seharusnya dilakukan 2 kali namun hanya dilakukan satu kali, dengan kendala meminimalisir *cost*. Pada faktor lingkungan, *moisture* tidak sesuai spesifikasi apabila suhu di bin panas, hal ini terjadi karna kondisi lingkungan diluar yang dapat mempengaruhi kondisi suhu di bin.

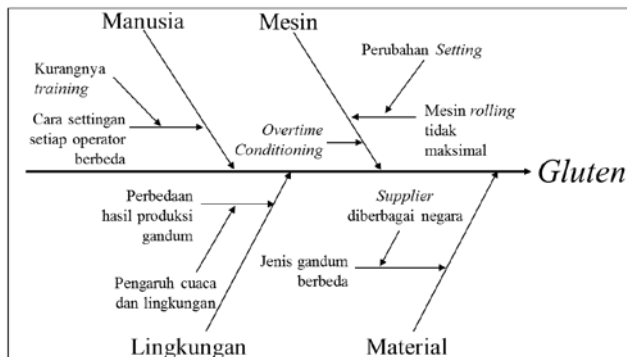
Selain *moisture*, penyebab *out of control* variabel *ash* berdasarkan beberapa faktor ditampilkan pada Gambar 4.14



Gambar 4.14 Diagram Ishikawa Pada Variabel *Ash*

Gambar 4.14 merupakan diagram *Ishikawa* dari penyebab *out of control* berdasarkan variabel *ash*, dimana penyebab pada faktor mesin yaitu adanya kebocoran *shifter*, perubahan settingan *roll* serta aspirasi *dry stone* yang kurang optimal. Sedangkan pada faktor manusia disebabkan karena kelalaian operator yang mengakibatkan produk mampat dari salah satu screen. Pada faktor material yaitu karna iklim serta perubahan cuaca. Kemudian pada faktor lingkungan, dengan penyebab mesin yang jarang dibersihkan sehingga kotor dan mengakibatkan *ash* semakin tinggi.

Selanjutnya yaitu analisis penyebab *out of control* berdasarkan variabel *gluten*, seperti yang ditampilkan pada Gambar 4.15



Gambar 4.15 Diagram Ishikawa Pada Variabel *Gluten*

Gambar 4.15 menjelaskan tentang sebab akibat dari *gluten* yang menjadi variabel penyebab *out of control*. Pada faktor mesin diketahui bahwa penyebabnya adalah mesin *rolling* yang tidak maksimal dan *over conditioning*. Pada faktor manusia disebabkan karena kurangnya *training* sehingga cara *setting* setiap operator berbeda. Pada faktor material disebabkan karena jenis gandum yang berbeda yaitu diberbagai negara yang menyebabkan kandungan *gluten* tidak sesuai standar. Selanjutnya pada faktor lingkungan dengan penyebab pengaruh cuaca dan lingkungan.

4.5 Kapabilitas Proses

Setelah diperoleh kondisi yang terkendali baik varian maupun *mean*, maka dari pengamatan yang sudah terkendali tersebut dilakukan perhitungan indeks kapabilitas proses secara multivariat dengan menggunakan *macrominitab* pada Lampiran L dan M, didapatkan nilai K dan A yang dapat dilihat pada Lampiran G dan I untuk fase 1, sedangkan fase 2 pada Lampiran H dan J, yang kemudian dilakukan perhitungan berdasarkan persamaan 2.26 diperoleh nilai kapabilitas proses sebagai berikut.

Tabel 4.6 Indeks Kapabilitas Proses Secara Multivariat

	χ^2	Cp
Fase 1	14,1563	1,323350419
Fase 2	14,1563	1,005144237

Indeks kapabilitas proses multivariat pada Tabel 4.6 menunjukkan bahwa dengan nilai χ^2 sebesar 14,1563 diperoleh nilai indeks kapabilitas sebesar 1,323 pada fase 1 dan 1,005 pada fase 2, yang berarti data produksi tepung terigu “Palapa” pada fase 1 dan 2 sudah kapabel. Hal ini dapat dilihat dari nilai Cp yang dihasilkan lebih dari 1 ($Cp > 1$).

Nilai level *Sigma* pada produksi tepung terigu “Palapa” dengan pendekatan *six Sigma* dari Motorola (*Motorola Company’s six Sigma process control*) yang mengijinkan adanya pergeseran nilai rata-rata sebesar $\pm 1,5\sigma$, sehingga menghasilkan tingkat ketidakseuaian sebesar 3,4 persejuta kesempatan. Nilai DPMO yang diperoleh dari tabel konversi pada Lampiran O ditunjukkan pada Tabel 4.7

Tabel 4.7 Nilai *Sigma* dan DPMO

	<i>Sigma</i>	DPMO
Fase 1	3,97	6.870
Fase 2	3,02	314.915

Pada Tabel 4.7 menunjukkan bahwa pada proses produksi fase 1 memiliki nilai level *Sigma* sebesar 3,97 lebih besar dari nilai level *sigma* pada fase 2 yaitu 3,02, artinya proses produksi pada fase 1 menghasilkan DPMO lebih kecil yaitu sebesar 6.870 kegagalan persatujuta kesempatan dibandingkan DPMO pada fase 2 yaitu menghasilkan 314.915 kegagalan persatujuta kesempatan. Sehingga dapat disimpulkan bahwa terjadi penurunan level *sigma* pada fase 2, namun jika dibandingkan pada bulan Desember 2014 masih mengalami peningkatan level *sigma* walaupun masih jelek.

BAB V

KESIMPULAN DAN SARAN

5.1 Kesimpulan

Berdasarkan analisis dan pembahasan yang telah dipaparkan pada Bab IV, diperoleh kesimpulan bahwa terjadi pergeseran proses produksi tepung terigu “Palapa” pada fase 1 dan fase 2, dimana nilai level *sigma* pada proses produksi bulan Januari-Maret 2015 sebesar $3,97\sigma$ lebih baik dari hasil produksi pada bulan April-Mei 2015 yaitu sebesar $3,02\sigma$ dikarenakan adanya kebocoran pada mesin *shifter*.

5.2 Saran

Berdasarkan Diagram *Ishikawa* dari penyebab variabel *out of control* dan analisis dalam penelitian ini, diperoleh saran atau rekomendasi sebagai berikut.

1. Melakukan penjadwalan pada pembersihan sumber dan tandon air untuk proses produksi agar settingan *flow meter* tidak mudah berubah-ubah.
2. Sikat, *bearing* dan magnet pada mesin *roll* lebih sering dibersihkan agar dapat beroperasi dengan optimal.
3. Perlu dilakukan penggantian *cleaner* pada *box screen* tiap periode agar tidak terjadi kebocoran *shifter*.
4. Perlu melakukan penggantian kain *slave* dan *screen dry stoner* yang sudah berlubang, agar aspirasi bisa optimal.
5. Perlu dilakukan *training* kepada karyawan maupun operator untuk meningkatkan hasil proses produksi.
6. Sebaiknya perusahaan menerapkan pengendalian kualitas menggunakan statistika baik mulai dari *control process* produksi hingga uji laboratorium. Dengan begitu akan mudah untuk diketahui akar dari permasalahnya.
7. Pengendalian kualitas sebaiknya di evaluasi per bulan untuk melihat apakah kualitasnya makin turun atau naik.

(Halaman ini sengaja dikosongkan)

DAFTAR PUSTAKA

- Alt, F. B. (1985). *Multivariate Quality Control*. Dalam D.C. Montgomery. *Introduction to Statistical Quality Control Sixth Edition* (7Th ed., hal. 516). New York, United States of America: John Wiley & Sons, Inc.
- Djauhari, M. A. (2005). *Improved Monitoring of Multivariate Process Variability*. *Journal of Quality Technology*, 37(1), 32-39
- Eko, Oktiningrum & Suhartono. (2012). *Pengontrolan Kualitas Pada Proses Pengemasan Semen (Packaging) Pt. Semen Gresik (Persero) Tbk, Di Tuban Berbasis Metode Six sigma*. Institut Teknologi Sepuluh Nopember, Jurusan Statistika.Surabaya
- Gaspersz, V. (2007). *Lean Six sigma for Manufacturing and Service Industries*. PT. Gramedia Pustaka Utama, Jakarta.
- Heizer, Jay and Render, Barry. (2006). *Operations Management* (Manajemen Operasi). Edisi Ketujuh .Terjemahan oleh: Dwianoegrahwati Setyoningsih dan Indra Almahdy. Jakarta: Salemba Empat
- Johnson, R.A.,& Wichern, D.W.(2007).*Applied Multivariate Statistical Analysis* (7th ed.). New jersey, USA: Pearson Prentice Hall
- Karson, M. J. 1982. *Multivariate Statistical Methods First Edition*. Ames-Iowa : The Iowa State University Press.
- Kotz, S., Johnson R. A., and Norman L. (1993). *Process Capability Indices*, 1st edition, Chapman & Hall.
- Montgomery, Douglas C. (2013). *Introduction to Statistical Quality Control Sixth Edition*. New York: John Wiley & Sons,inc

- Morrison, D. C. (1990). *Multivariate Statistical Methods* (3rd ed.). USA: McGraw-Hill, Inc
- Walpole, Ronald E. (2011). *Pengantar Statistika* .PT. Gramedia, Jakarta.

LAMPIRAN

Lampiran A: Data Hasil Uji Laboratorium Produk Tepung Terigu “Palapa” Fase 1 (Periode 5 Januari – 31 Maret 2015)

Tanggal	<i>Moisture</i>	<i>Ash</i>	<i>Gluten</i>	Tanggal	<i>Moisture</i>	<i>Ash</i>	<i>Gluten</i>
05-Jan-15	13,12	0,56	18,85	13-Jan-15	13,83	0,52	22,78
	13,39	0,52	26,1		13,89	0,52	19,2
	13,91	0,56	25,66		13,92	0,53	23,19
	13,65	0,5	21,68		13,92	0,52	22,3
	13,34	0,5	24		13,98	0,51	23,56
	13,28	0,56	23,33		14,07	0,51	23,77
	13,57	0,55	26,84		14,25	0,49	22,78
	13,59	0,56	23,68		13,6	0,55	23,19
06-Jan-15	13,15	0,6	26,1	14-Jan-15	13,37	0,53	24
	13,15	0,6	24,24		13,44	0,52	25,01
	13,16	0,59	21,95		13,38	0,54	21,95
	13,17	0,57	23,02		13,55	0,56	21,03
	13,22	0,57	24,7		13,5	0,54	25,01
	13,27	0,56	25,36		13,27	0,52	24,06
	13,29	0,57	26,37		13,7	0,59	26,84
	13,29	0,54	22,75		13,39	0,46	26,1
07-Jan-15	13,3	0,56	22,91	19-Jan-15	13,61	0,55	21,03
	13,29	0,55	21,64		13,28	0,61	24,7
	13,31	0,56	19,97		13,78	0,61	20,98
	13,34	0,55	28,44		13,57	0,56	23,88
	13,38	0,53	21,97		13,11	0,54	24,58
	13,43	0,55	26,1		13,74	0,57	22,46
	13,44	0,54	23,25		13,51	0,56	25,14
	13,49	0,55	27,5		13,55	0,56	28,09
12-Jan-15	13,49	0,53	24,24	20-Jan-15	13,59	0,55	23,56
	13,49	0,54	20,61		13,41	0,58	24,58
	13,55	0,55	24,58		13,58	0,54	25,08
	13,55	0,55	22,3		13,11	0,56	23,77
	13,57	0,54	23,25		13,28	0,58	27,3
	13,64	0,53	23,47		13,02	0,56	23,25
	13,64	0,52	21,07		13,4	0,54	24,58
	13,67	0,53	23,47		13,54	0,5	21,13

Lampiran A: Lanjutan

Tanggal	<i>Moisture</i>	<i>Ash</i>	<i>Gluten</i>	Tanggal	<i>Moisture</i>	<i>Ash</i>	<i>Gluten</i>
19-Jan-15	13,61	0,55	21,03	27-Jan-15	13,79	0,55	23,84
	13,28	0,61	24,7		13,67	0,56	23,6
	13,78	0,61	20,98		13,95	0,54	21,03
	13,57	0,56	23,88		13,49	0,54	26,84
	13,11	0,54	24,58		13,43	0,53	27,3
	13,74	0,57	22,46		13,78	0,59	22,58
	13,51	0,56	25,14		13,7	0,6	21,3
	13,55	0,56	28,09		13,67	0,53	21,03
	13,59	0,55	23,56		13,89	0,55	23,84
	13,41	0,58	24,58		13,82	0,46	18,75
20-Jan-15	13,58	0,54	25,08	28-Jan-15	13,54	0,56	25,5
	13,11	0,56	23,77		13,29	0,6	24,7
	13,28	0,58	27,3		13,78	0,54	21,07
	13,02	0,56	23,25		13,11	0,55	26,84
	13,4	0,54	24,58		13,92	0,61	21,24
	13,54	0,5	21,13		13,92	0,56	25,77
	13,95	0,56	24		13,31	0,56	17,66
	13,15	0,54	23,63		13,43	0,55	21,94
	13,28	0,55	24,68		13,55	0,58	21,13
	13,47	0,54	22,71		13,55	0,53	22,21
21-Jan-15	13,6	0,54	26,37	02-Feb-15	13,04	0,56	20
	13,74	0,57	24		13,82	0,6	24
	13,97	0,56	25,08		13,02	0,54	22,87
	13,39	0,55	23,63		13,7	0,52	26,84
	13,77	0,6	22,87		13,18	0,55	23,31
	13,7	0,58	21,03		13,68	0,6	23,58
	13,55	0,54	20,26		13,1	0,48	20,41
	13,77	0,6	24,06		13,66	0,56	22,94
	13,6	0,62	25,9		13,08	0,62	24,24
	13,54	0,51	24,58		13,35	0,59	27,31
26-Jan-15	13,49	0,52	23,84		13,41	0,58	22,94
	13,85	0,57	20,82		13,48	0,57	26,37

Lampiran A: Lanjutan

Tanggal	Moisture	Ash	Gluten	Tanggal	Moisture	Ash	Gluten
04-Feb-15	13,54	0,56	23,25	16-Feb-15	13,57	0,55	26,1
	13,64	0,56	25,58		13,78	0,52	25,36
	13,83	0,56	24,07		13,25	0,61	21,28
	13,89	0,54	21,3		13,92	0,55	25,79
	13,9	0,55	20,41		12,93	0,56	25,9
	13,91	0,53	21,14		13,45	0,59	23,85
	13,95	0,48	23,22		13,89	0,56	25,5
	13,62	0,5	17,66		13,57	0,6	23,45
09-Feb-15	13,54	0,55	22,24	17-Feb-15	13,52	0,53	23,85
	14,01	0,53	24,18		13,17	0,57	24,58
	13,21	0,55	24,68		13,29	0,49	23,45
	13,45	0,53	26,37		13,63	0,53	22,91
	13,36	0,52	20,41		13,42	0,48	22,58
	13,31	0,56	21,13		13,44	0,53	21,95
	13,61	0,56	28,44		13,37	0,53	23,45
	13,29	0,59	24,24		13,51	0,56	24,29
10-Feb-15	13,29	0,53	21,95	18-Feb-15	13,15	0,49	18,75
	13,31	0,52	21,91		13,97	0,56	21,97
	13,31	0,56	27,3		13,55	0,56	25,66
	13,31	0,52	24,29		13,04	0,56	22,94
	13,45	0,59	23,88		13,67	0,51	24,11
	13,83	0,57	26,1		13,11	0,52	21,46
	13,18	0,56	21,68		13,7	0,54	21,14
	13,76	0,54	23,77		13,15	0,55	23,77
11-Feb-15	13,84	0,53	26,84	23-Feb-15	12,91	0,58	23,17
	13,49	0,54	25,9		13,11	0,58	27,31
	13,28	0,59	21,64		13,12	0,57	22,24
	13,25	0,56	24,29		13,14	0,56	23,47
	13,64	0,57	18,61		13,16	0,55	23,6
	13,65	0,54	22,29		13,18	0,56	23,95
	13,86	0,51	25,9		13,2	0,55	21,97
	13,51	0,55	24,7		13,2	0,55	21,95

Lampiran A: Lanjutan

Tanggal	<i>Moisture</i>	<i>Ash</i>	<i>Gluten</i>	Tanggal	<i>Moisture</i>	<i>Ash</i>	<i>Gluten</i>
24-Feb-15	13,21	0,55	19,97	04-Mar-15	13,48	0,48	23,21
	13,21	0,55	22,94		13,43	0,54	21,97
	13,27	0,53	21,03		13,28	0,62	20,55
	13,27	0,53	21,3		13,47	0,53	21,46
	13,28	0,54	20,26		13,67	0,58	22,21
	13,31	0,54	24,11		13,11	0,61	25,26
	13,37	0,54	22,46		13,89	0,52	24,7
	13,39	0,54	22,98		13,03	0,47	29,02
	13,41	0,55	21,46		13,27	0,57	25,9
	13,44	0,54	21,64		13,89	0,55	23,21
25-Feb-15	13,5	0,54	25,62		13,31	0,54	23,95
	13,5	0,54	27,31		13,08	0,53	18,61
	13,55	0,53	20,98		13,49	0,58	27,31
	13,65	0,53	26,1		13,82	0,56	24,11
	13,71	0,53	25,97		13,49	0,53	24,18
	13,73	0,52	23,77		13,45	0,54	24,58
	13,78	0,51	26,1		13,48	0,59	20,7
	13,82	0,51	24,7		13,08	0,61	25,9
	13,92	0,5	23,84		13,08	0,53	23,56
	13,95	0,5	23,21		13,66	0,54	27,31
02-Mar-15	13,97	0,5	23,25		13,18	0,54	22,46
	14,07	0,49	27,5		13,73	0,52	24,72
	14,25	0,48	27,3		13,55	0,55	25,9
	13,77	0,51	25,58		13,43	0,51	25,36
	13,35	0,55	27,19		13,35	0,58	25,66
	13,45	0,56	22,4		13,66	0,52	24,11
	13,45	0,53	23,84		13,81	0,59	21,56
	13,65	0,6	22,53		13,12	0,54	25,26
	13,08	0,5	24,18		13,89	0,53	22,12
	13,97	0,56	20,82		13,44	0,5	24,22
03-Mar-15	12,93	0,54	21,13		13,24	0,56	22,4
	14,25	0,55	29,02		13,38	0,5	29,02
11-Mar-15							

Lampiran A: Lanjutan

Tanggal	<i>Moisture</i>	<i>Ash</i>	<i>Gluten</i>
16-Mar-15	13,69	0,57	25,78
	13,44	0,55	23,74
	13,81	0,52	25,79
	13,35	0,59	23,82
	13,21	0,51	24,52
	13,59	0,54	22,82
	13,23	0,55	22,59
	13,12	0,54	23,1
17-Mar-15	13,75	0,56	25,62
	13,88	0,49	26,55
	13,58	0,56	21,84
	13,32	0,62	27,11
	13,69	0,48	27,07
	12,92	0,52	18,11
	13,31	0,52	20,98
	13,76	0,58	23,74
18-Mar-15	13,28	0,56	23,33
	13,57	0,55	26,84
	13,59	0,56	23,68
	13,15	0,6	26,1
	13,15	0,6	24,24
	13,16	0,59	21,95
	13,17	0,57	23,02
	13,22	0,57	24,7
23-Mar-15	13,28	0,51	22,94
	13,43	0,53	21,7
	13,31	0,55	23,11
	13,52	0,54	25,73
	12,99	0,55	24,72
	13,53	0,52	25,08
	13,31	0,52	25,53
	13,51	0,58	28,32
24-Mar-15	13,64	0,53	23,47
	13,64	0,52	21,07
	13,67	0,53	23,47
	13,83	0,52	22,78
	13,89	0,52	19,2
	13,92	0,53	23,19
	13,92	0,52	22,3
	13,98	0,51	23,56
25-Mar-15	13,7	0,53	22,83
	13,07	0,58	26,17
	12,88	0,53	19,56
	13,95	0,54	23,05
	13,37	0,57	22,17
	13,26	0,56	22,99
	13,35	0,53	18,49
	13,36	0,56	24,57
30-Mar-15	13,22	0,57	24,7
	13,27	0,56	25,36
	13,29	0,57	26,37
	14	0,54	22,75
	13,3	0,56	22,91
	13,29	0,55	20,65
	13,31	0,56	19,97
	13,34	0,55	28,44
31-Mar-15	13,89	0,55	21,84
	13,53	0,56	24,1
	13,23	0,57	24,18
	13,52	0,56	22,99
	13,41	0,56	24,57
	13,66	0,54	25,9
	13,46	0,55	23,26
	12,91	0,55	23,11

**Lampiran B: Data Hasil Uji Laboratorium Produk Tepung
Terigu “Palapa” Fase 2 (Periode 1 April – 20 Mei 2015)**

Tanggal	Moisture	Ash	Gluten	Tanggal	Moisture	Ash	Gluten
01-Apr-15	13,28	0,54	24,72	13-Apr-15	13,24	0,58	24,57
	13,43	0,54	22,1		13,61	0,55	24,96
	13,31	0,55	25,51		13,83	0,56	25,04
	13,52	0,54	24,11		13,15	0,57	26,81
	12,99	0,54	25,73		13,63	0,52	25,65
	13,53	0,53	22,19		13,54	0,57	24,85
	13,31	0,54	25,46		13,57	0,54	26,2
	13,51	0,54	23,05		12,6	0,51	25,78
06-Apr-15	13	0,53	24,22	14-Apr-15	13,22	0,51	19,6
	13,19	0,53	24,98		13,45	0,52	21,03
	12,96	0,53	21,7		13,28	0,5	22,93
	13,12	0,54	23,88		13,35	0,59	21,41
	14,03	0,53	22,83		13,32	0,52	23,74
	13,42	0,52	19,56		13,3	0,57	23,44
	13,71	0,53	18,49		13,53	0,58	21,5
	12,85	0,52	18,11		12,87	0,57	21,83
07-Apr-15	13,7	0,52	20,98	15-Apr-15	12,97	0,5	27,2
	13,07	0,53	25,08		13,74	0,49	25,1
	12,88	0,52	25,53		13,19	0,55	21,84
	13,95	0,51	22,94		13,2	0,55	26,18
	13,37	0,49	26,55		13,16	0,53	19,66
	13,26	0,49	21,65		13,68	0,52	19,41
	13,35	0,5	26,34		13,49	0,59	24,25
	13,36	0,48	27,07		13,69	0,58	25
08-Apr-15	12,88	0,48	23,22	20-Apr-15	13,17	0,52	26,39
	13,25	0,52	22,59		13,07	0,57	27,44
	12,94	0,55	26,76		13,36	0,57	22,97
	13,85	0,55	23,19		13,97	0,48	21,73
	12,74	0,51	23,36		13,2	0,54	23,53
	13,46	0,56	24,1		13,76	0,51	24,76
	13,62	0,56	26,99		13,52	0,52	25,67
	12,85	0,55	22,15		14,12	0,53	26,03

Lampiran B: Lanjutan

Tanggal	<i>Moisture</i>	<i>Ash</i>	<i>Gluten</i>	Tanggal	<i>Moisture</i>	<i>Ash</i>	<i>Gluten</i>
21-Apr-15	13,6	0,5	24,29	29-Apr-15	13,08	0,58	24,57
	13,23	0,54	20,64		13,11	0,53	24,56
	13,45	0,51	25,28		13,15	0,57	21,48
	13,53	0,55	25,2		13,14	0,5	26,62
	12,57	0,55	23,77		13,16	0,57	22,07
	12,85	0,54	24,65		13,15	0,57	25,3
	13,87	0,54	22,36		13,16	0,57	25,37
	14,03	0,54	24,12		13,2	0,6	19,76
22-Apr-15	13,88	0,52	24,55	04-Mei-15	13,19	0,57	20,5
	13,36	0,45	22,34		13,19	0,56	23,09
	13,4	0,55	19,54		13,2	0,5	23,25
	13,74	0,52	19,74		13,21	0,56	21,5
	13,07	0,56	24,17		13,22	0,53	21,14
	13,78	0,54	23,69		13,23	0,56	21,41
	13,71	0,53	22,1		13,24	0,53	24,95
	13,48	0,56	23,32		13,25	0,56	23,34
27-Apr-15	12,53	0,65	20,02	05-Mei-15	13,25	0,55	21,68
	12,66	0,65	20,44		13,27	0,56	19,57
	12,74	0,6	21,5		13,28	0,58	21,29
	12,78	0,59	21,74		13,27	0,57	24,1
	12,78	0,58	25,05		13,29	0,56	26,99
	12,85	0,6	21,26		13,3	0,54	25,04
	12,87	0,55	26,42		13,32	0,5	26,53
	12,93	0,58	25,71		13,32	0,55	21,17
28-Apr-15	12,94	0,52	21,43	06-Mei-15	13,34	0,56	25,34
	12,97	0,59	20,8		13,35	0,5	21,99
	12,98	0,58	25,23		13,34	0,55	21,55
	13	0,58	23,82		13,36	0,53	30,12
	13,01	0,53	26,89		13,36	0,54	25,72
	13,05	0,57	24,74		13,35	0,55	21,19
	13,06	0,57	24,82		13,36	0,55	20,54
	13,08	0,58	23,45		13,37	0,5	23,83

Lampiran B: Lanjutan

Tanggal	<i>Moisture</i>	<i>Ash</i>	<i>Gluten</i>	Tanggal	<i>Moisture</i>	<i>Ash</i>	<i>Gluten</i>
11-Mei-15	13,41	0,55	26,76	18-Mei-15	13,62	0,52	24,57
	13,41	0,56	23,19		13,61	0,5	20,35
	13,41	0,55	22,15		13,64	0,52	21,9
	13,42	0,53	24,96		13,66	0,53	16,99
	13,43	0,54	26,43		13,68	0,5	23,72
	13,44	0,51	23,58		13,69	0,52	22,59
	13,46	0,54	23,01		13,72	0,44	23,23
	13,46	0,53	24,39		13,71	0,51	24,74
12-Mei-15	13,48	0,54	20,98	19-Mei-15	13,72	0,52	28,22
	13,5	0,54	24,42		13,73	0,51	23,34
	13,5	0,55	24,26		13,76	0,51	23,36
	13,51	0,54	25,88		13,78	0,5	24,36
	13,51	0,53	20,1		13,81	0,51	20,27
	13,54	0,54	16,48		13,83	0,5	22,72
	13,55	0,53	23,5		13,85	0,5	23,75
	13,56	0,52	21,1		13,9	0,48	23,74
13-Mei-15	13,57	0,53	22,96	20-Mei-15	13,94	0,51	22,18
	13,58	0,55	25,19		13,72	0,44	23,23
	13,6	0,53	22,22		14,11	0,49	24,82
	13,59	0,48	27,81		13,31	0,54	25,46
	13,61	0,52	27,73		12,85	0,55	22,15
	13,6	0,53	24,63		13,24	0,58	24,57
	13,61	0,51	25,4		13,61	0,55	24,96
	13,62	0,53	20,15		13,83	0,56	25,04

Lampiran C : Output SPSS Uji Bartlett**(1) Output Uji Bartlett Fase 1****KMO and Bartlett's Test**

Kaiser-Meyer-Olkin Measure of Sampling Adequacy.		,477
	Approx. Chi-Square	16,792
Bartlett's Test of Sphericity	df	3
	Sig.	,001

(2) Output Uji Bartlett Fase 2**KMO and Bartlett's Test**

Kaiser-Meyer-Olkin Measure of Sampling Adequacy.		,491
	Approx. Chi-Square	39,207
Bartlett's Test of Sphericity	df	3
	Sig.	,000

Lampiran D : *Output Minitab Uji Distribusi Normal*

Multivariat Fase1

MTB > %D:\multinormal.txt C1-C3

Executing from file: D:\multinormal.txt

No	di	No	di	No	di	No	di
1	6,2557	29	0,1405	57	0,1557	85	3,4271
2	2,6252	30	0,5017	58	1,363	86	4,3723
3	3,4317	31	2,2412	59	0,5517	87	6,0076
4	3,2147	32	0,6051	60	1,9067	88	2,0173
5	3,4175	33	2,0577	61	4,214	89	2,1816
6	0,6672	34	6,6199	62	2,864	90	13,253
7	2,1526	35	2,4603	63	0,4318	91	0,9106
8	0,3924	36	3,1025	64	3,6097	92	3,4426
9	5,0721	37	3,8171	65	3,3121	93	2,5494
10	3,9487	38	4,9112	66	1,7748	94	4,3139
11	3,4897	39	9,3608	67	0,8571	95	10,381
12	1,6754	40	0,2363	68	0,2337	96	3,6284
13	1,5281	41	0,7167	69	1,6932	97	7,8181
14	1,3653	42	1,4735	70	1,7465	98	0,6337
15	2,4646	43	0,7935	71	3,831	99	2,94
16	0,7998	44	1,7937	72	0,1359	100	0,7229
17	0,656	45	0,4672	73	5,4217	101	5,0819
18	1,2729	46	1,9562	74	3,952	102	5,6773
19	3,2419	47	4,935	75	2,4336	103	3,2774
20	5,2239	48	11,397	76	5,1278	104	3,2896
21	1,0941	49	1,7056	77	7,5463	105	1,2761
22	1,3329	50	4,7036	78	1,8103	106	4,3487
23	0,138	51	8,7941	79	0,8937	107	10,271
24	3,0828	52	0,3344	80	4,8028	108	0,8389
25	0,4465	53	2,4651	81	1,2373	109	6,9622
26	1,908	54	2,1682	82	0,7489	110	4,7037
27	0,2297	55	0,6362	83	4,331	111	1,3605
28	0,4581	56	4,2124	84	2,2385	112	2,0337

Lampiran D :Lanjutan

No	di	No	di	No	di	No	di
113	0,3069	141	6,746	169	4,8004	197	4,4716
114	1,2578	142	0,7326	170	5,4257	198	9,5455
115	1,9597	143	3,7294	171	2,3668	199	12,867
116	3,3321	144	0,241	172	1,6158	200	2,8999
117	4,783	145	1,3015	173	1,4441	201	2,9762
118	3,7288	146	2,1436	174	1,325	202	0,5291
119	6,456	147	5,9648	175	1,5867	203	0,4292
120	9,4854	148	3,2642	176	1,5994	204	4,5296
121	0,4743	149	5,3524	177	3,6026	205	6,1668
122	3,4631	150	2,0982	178	1,0989	206	5,6303
123	1,3294	151	3,0983	179	2,4007	207	5,4733
124	2,0868	152	3,6568	180	2,1483	208	12,856
125	3,175	153	0,3456	181	2,8931	209	5,3574
126	1,7775	154	1,8241	182	0,6555	210	0,6619
127	4,9855	155	5,0333	183	0,5454	211	8,3425
128	2,3029	156	0,5735	184	0,3056	212	1,2635
129	1,5389	157	5,7372	185	1,0401	213	2,6083
130	2,0374	158	0,9395	186	0,8874	214	5,8008
131	3,3553	159	0,6605	187	0,8999	215	2,5871
132	1,7483	160	0,2825	188	2,9037	216	19,369
133	2,0986	161	10,489	189	1,734	217	2,078
134	3,5238	162	4,4038	190	1,7852	218	2,2726
135	1,9919	163	1,0498	191	1,868	219	0,62
136	0,91	164	2,6763	192	1,271	220	7,5926
137	3,6186	165	1,7496	193	3,4315	221	3,8234
138	1,1588	166	4,0766	194	2,6296	222	1,8677
139	3,1915	167	1,9261	195	3,9683	223	0,43
140	0,9253	168	1,5494	196	4,278	224	0,3097

Lampiran D :Lanjutan

No	di
225	4,1964
226	6,5204
227	3,0209
228	3,0777
229	1,6814
230	1,5131
231	1,0817
232	2,5889
233	2,074
234	1,0476
235	5,524
236	2,7887
237	2,6481
238	2,9385
239	1,1532
240	9,7777
241	2,1459
242	0,0422
243	2,6684
244	2,1139
245	3,5782
246	0,2914
247	1,0654
248	2,0804
249	1,9133
250	6,4946
251	1,1115
252	8,1088
253	7,8921
254	11,409
255	2,7879
256	2,7199
257	0,6672
258	2,1526
259	0,3924
260	5,0721
261	3,9487
262	3,4897
263	1,6754
264	1,5281
265	2,688
266	1,1353
267	0,4683
268	0,9858
269	3,6936
270	1,3342
271	2,5273
272	5,521
273	0,5017
274	2,2412
275	0,6051
276	2,0577
277	6,6199
278	2,4603
279	3,1025
280	3,8171
281	0,8689
282	4,3207
283	8,6857
284	2,8113
285	1,1429
286	0,829
287	5,8799
288	0,5249
289	1,5281
290	1,3653
291	2,4646
292	3,5687
293	0,656
294	2,2531
295	3,2419
296	5,2239
297	3,0378
298	0,2711
299	1,2861
300	0,335
301	0,4047
302	1,3769
303	0,0479
304	4,4725

**Scatterplot of q vs dd
Data Display**

t 0,513158

Lampiran E : *Output Minitab Uji Distribusi Normal*

Multivariat Fase 2

MTB > %D:multinormal.txt c1-c3

Executing from file: D:multinormal.txt

No	di
1	0,3518
2	0,4211
3	0,9864
4	0,3993
5	2,4297
6	0,5832
7	0,7602
8	0,3014
9	1,995
10	0,9202
11	3,1453
12	0,6867
13	4,7015
14	3,5195
15	5,8643
16	10,84
17	2,3077
18	1,7115
19	4,5743
20	3,266
21	3,9654
22	4,4203
23	2,9188
24	5,7233
25	9,8286
26	0,9953
27	3,7416
28	3,4976

No	di
29	7,3976
30	1,0343
31	4,6607
32	3,0711
33	2,1408
34	1,6969
35	4,8481
36	3,4446
37	1,5168
38	2,7165
39	2,0213
40	10,552
41	5,0146
42	1,6067
43	2,2941
44	3,6509
45	0,4849
46	1,0767
47	3,5903
48	2,9641
49	7,0105
50	2,7944
51	0,8337
52	1,7164
53	3,8159
54	4,2209
55	4,3897
56	5,5122

No	di
57	2,5193
58	4,5368
59	1,2243
60	5,4242
61	0,2992
62	1,8298
63	1,1677
64	7,5157
65	1,4569
66	1,8127
67	1,2046
68	1,3601
69	6,6246
70	3,2018
71	3,227
72	5,4275
73	2,7147
74	9,945
75	3,0574
76	4,0527
77	1,0584
78	2,1068
79	1,5072
80	0,994
81	14,951
82	13,646
83	5,7329
84	4,5681

No	di
85	4,1716
86	5,096
87	3,9871
88	3,5932
89	4,4156
90	4,041
91	2,9406
92	2,1717
93	3,7736
94	1,7492
95	1,7558
96	1,8543
97	2,1911
98	1,2019
99	1,7019
100	4,5327
101	1,3407
102	1,8462
103	1,8875
104	5,8553
105	2,4959
106	0,571
107	2,7535
108	1,187
109	1,6436
110	1,2232
111	0,696
112	0,4852

Lampiran E :Lanjutan *Output Minitab* Uji Distribusi Normal Multivariat Fase2

No	di
113	0,7893
114	3,1993
115	2,4919
116	1,1679
117	3,0499
118	0,4907
119	3,233
120	1,1106
121	1,3258
122	2,4337
123	0,8134
124	8,2527
125	0,9566
126	1,0977
127	1,7341
128	1,6727

No	di
129	2,4455
130	0,7093
131	0,5418
132	0,4334
133	1,7505
134	0,7658
135	0,1631
136	0,2305
137	1,34
138	0,4249
139	0,7108
140	1,4216
141	2,4384
142	9,6125
143	0,3096
144	1,6453

No	di
145	0,4395
146	1,6482
147	0,8201
148	6,0216
149	3,9064
150	0,7599
151	1,467
152	2,7345
153	0,8377
154	3,6623
155	1,2679
156	8,862
157	1,6031
158	1,1659
159	9,421
160	1,527

No	di
161	5,371
162	1,4164
163	1,5915
164	2,1425
165	4,0409
166	2,5529
167	2,5194
168	4,0823
169	3,447
170	9,421
171	5,7277
172	0,7602
173	3,0711
174	2,1408
175	1,6969
176	4,8481

Scatterplot of q vs dd

Data Display

t 0,517045

Lampiran F : Output SPSS Homogentitas Matrik Varian Kovarian

(1) Output Homogentitas Matrik Varian Kovarian Fase 1

**Box's Test of Equality of
Covariance Matrices^a**

Box's M	8,575
F	1,414
df1	6
df2	660798,792
Sig.	,205

(2) Output Homogentitas Matrik Varian Kovarian Fase 2

**Box's Test of Equality of
Covariance Matrices^a**

Box's M	12,064
F	1,973
df1	6
df2	219358,189
Sig.	,066

**Lampiran G : Output Minitab Nilai K Pada Kapabilitas
Proses Multivariat Fase1**

No	Nilai Ki
1	0,0272
2	0,0272
3	0,0157
4	0,0429
5	0,0067
6	0,0497
7	0,0278
8	0,0775
9	0,0165
10	0,0939
11	0,0067
12	0,1006
13	0,0138
14	0,1144
15	0,005
16	0,1194
17	0,0068
18	0,1262
19	0,0081
20	0,1343
21	0,0188
22	0,1531
23	0,0294
24	0,1826
25	0,0081
26	0,1907
27	0,0108
28	0,2015

No	Nilai Ki
29	0,0051
30	0,2066
31	0,019
32	0,2256
33	0,0073
34	0,2329
35	0,0146
36	0,2475
37	0,0053
38	0,2528
39	0,007
40	0,2598
41	0,006
42	0,2657
43	0,0088
44	0,2746
45	0,0199
46	0,2944
47	0,0093
48	0,3037
49	0,0062
50	0,3099
51	0,0115
52	0,3214
53	0,0071
54	0,3285
55	0,0131
56	0,3416

No	Nilai Ki
57	0,007
58	0,3486
59	0,0077
60	0,3564
61	0,0177
62	0,374
63	0,0574
64	0,4315
65	0,0131
66	0,4446
67	0,0342
68	0,4788
69	0,0313
70	0,51
71	0,005
72	0,515
73	0,0069
74	0,5219
75	0,0085
76	0,5304
77	0,007
78	0,5374
79	0,023
80	0,5605
81	0,0049
82	0,5653
83	0,0121
84	0,5775

No	Nilai Ki
85	0,0074
86	0,5849
87	0,0088
88	0,5936
89	0,0278
90	0,6215
91	0,0096
92	0,6311
93	0,0059
94	0,637
95	0,0265
96	0,6635
97	0,0056
98	0,6692
99	0,0048
100	0,6739
101	0,0067
102	0,6806
103	0,0059
104	0,6865
105	0,0123
106	0,6989
107	0,0055
108	0,7044
109	0,0058
110	0,7102
111	0,0047
112	0,7149

Lampiran G : Lanjutan

No	Nilai Ki						
113	0,0164	141	0,0243	169	0,0507	197	0,021
114	0,7312	142	0,9635	170	1,2209	198	1,4318
115	0,0177	143	0,0173	171	0,0304	199	0,0085
116	0,7489	144	0,9808	172	1,2514	200	1,4403
117	0,0178	145	0,0405	173	0,0121	201	0,0153
118	0,7668	146	1,0213	174	1,2634	202	1,4556
119	0,0141	147	0,0075	175	0,0139	203	0,0082
120	0,7809	148	1,0288	176	1,2773	204	1,4638
121	0,0337	149	0,0174	177	0,0071	205	0,0102
122	0,8146	150	1,0462	178	1,2844	206	1,474
123	0,016	151	0,0098	179	0,015	207	0,0075
124	0,8306	152	1,0561	180	1,2995	208	1,4815
125	0,01	153	0,0188	181	0,0073	209	0,0189
126	0,8406	154	1,0748	182	1,3067	210	1,5004
127	0,0178	155	0,0133	183	0,0145	211	0,0102
128	0,8583	156	1,0882	184	1,3212	212	1,5106
129	0,0058	157	0,0049	185	0,0168	213	0,0228
130	0,8642	158	1,0931	186	1,3381	214	1,5334
131	0,005	159	0,0222	187	0,012	215	0,0078
132	0,8692	160	1,1153	188	1,3501	216	1,5411
133	0,021	161	0,0055	189	0,0251	217	0,0357
134	0,8902	162	1,1207	190	1,3752	218	1,5768
135	0,0153	163	0,0162	191	0,0191	219	0,009
136	0,9055	164	1,137	192	1,3943	220	1,5858
137	0,0207	165	0,0272	193	0,0071	221	0,0261
138	0,9262	166	1,1642	194	1,4014	222	1,6119
139	0,013	167	0,006	195	0,0094	223	0,0056
140	0,9392	168	1,1702	196	1,4108	224	1,6174

Lampiran G : Lanjutan

No	Nilai Ki	No	Nilai Ki	No	Nilai Ki
225	0,0099	253	0,0059	281	0,014
226	1,6273	254	1,8494	282	2,0205
227	0,0169	255	0,0055	283	0,0051
228	1,6442	256	1,8548	284	2,0255
229	0,0397	257	0,0341	285	0,0057
230	1,684	258	1,889	286	2,0313
231	0,0087	259	0,012	287	0,005
232	1,6926	260	1,9009	288	2,0363
233	0,02	261	0,0083	289	0,0092
234	1,7126	262	1,9092	290	2,0456
235	0,0153	263	0,0093	291	0,0088
236	1,7279	264	1,9186	292	2,0543
237	0,0064	265	0,0181	293	0,009
238	1,7342	266	1,9367	294	2,0633
239	0,0185	267	0,0079	295	0,0184
240	1,7527	268	1,9445	296	2,0818
241	0,0073	269	0,0149	297	0,0151
242	1,76	270	1,9595	298	2,0968
243	0,0128	271	0,006	299	0,0138
244	1,7728	272	1,9654	300	2,1107
245	0,0205	273	0,0163	301	0,0137
246	1,7933	274	1,9817	302	2,1244
247	0,0094	275	0,0054	303	0,0141
248	1,8027	276	1,9872	304	2,1385
249	0,0318	277	0,0102	305	0,0156
250	1,8345	278	1,9974	306	2,1541
251	0,009	279	0,0091	307	0,0077
252	1,8435	280	2,0065	308	2,1618
				309	0,0049
				310	2,1667
				311	0,0236
				312	2,1903
				313	0,0221
				314	2,2124
				315	0,005
				316	2,2174
				317	0,0073
				318	2,2246
				319	0,0059
				320	2,2306
				321	0,025
				322	2,2555
				323	0,0465
				324	2,302
				325	0,0048
				326	2,3068
				327	0,0178
				328	2,3246
				329	0,005
				330	2,3297
				331	0,0147
				332	2,3444
				333	0,0091
				334	2,3535
				335	0,0166
				336	2,3701

Lampiran G : Lanjutan

No	Nilai Ki						
337	0,0165	361	0,0113	385	0,0108	409	0,0068
338	2,3866	362	2,5804	386	2,7076	410	2,875
339	0,0128	363	0,0068	387	0,0267	411	0,0126
340	2,3994	364	2,5872	388	2,7343	412	2,8876
341	0,0176	365	0,0057	389	0,0141	413	0,0188
342	2,417	366	2,5929	390	2,7484	414	2,9064
343	0,0093	367	0,0046	391	0,0116	415	0,0294
344	2,4262	368	2,5975	392	2,7599	416	2,9359
345	0,0171	369	0,0103	393	0,0106	417	0,0127
346	2,4434	370	2,6078	394	2,7705	418	2,9486
347	0,0189	371	0,0097	395	0,007	419	0,0052
348	2,4622	372	2,6175	396	2,7775	420	2,9538
349	0,008	373	0,005	397	0,0299	421	0,0109
350	2,4702	374	2,6225	398	2,8074	422	2,9646
351	0,0496	375	0,0094	399	0,0071	423	0,0059
352	2,5199	376	2,632	400	2,8145	424	2,9705
353	0,0084	377	0,0101	401	0,0121	425	0,0066
354	2,5283	378	2,6421	402	2,8266	426	2,9771
355	0,0047	379	0,0126	403	0,0105	427	0,0103
356	2,533	380	2,6547	404	2,8371	428	2,9874
357	0,0187	381	0,0125	405	0,0177	429	0,0048
358	2,5517	382	2,6672	406	2,8548	430	2,9922
359	0,0174	383	0,0296	407	0,0135	431	0,0078
360	2,5691	384	2,6968	408	2,8682	432	3

Data Display

Matrix k
k 3

**Lampiran H : Output Minitab Nilai K Pada Kapabilitas
Proses Multivariat Fase2**

No	Nilai Ki
1	0,0106
2	0,0106
3	0,0114
4	0,022
5	0,0155
6	0,0375
7	0,0082
8	0,0457
9	0,0213
10	0,0671
11	0,0128
12	0,0799
13	0,014
14	0,0938
15	0,0087
16	0,1026
17	0,0104
18	0,113
19	0,0122
20	0,1252
21	0,0101
22	0,1353
23	0,0097
24	0,1449
25	0,0212
26	0,1662
27	0,0334
28	0,1996

No	Nilai Ki
29	0,0561
30	0,2558
31	0,0376
32	0,2934
33	0,0279
34	0,3213
35	0,0139
36	0,3352
37	0,0193
38	0,3546
39	0,0306
40	0,3852
41	0,0414
42	0,4266
43	0,0247
44	0,4513
45	0,0321
46	0,4833
47	0,0557
48	0,539
49	0,019
50	0,558
51	0,0094
52	0,5674
53	0,036
54	0,6034
55	0,0106
56	0,6139

No	Nilai Ki
57	0,0085
58	0,6224
59	0,0111
60	0,6335
61	0,0223
62	0,6558
63	0,0171
64	0,6728
65	0,0275
66	0,7003
67	0,0097
68	0,71
69	0,0092
70	0,7192
71	0,0386
72	0,7578
73	0,019
74	0,7768
75	0,0146
76	0,7914
77	0,0164
78	0,8078
79	0,0261
80	0,8339
81	0,0294
82	0,8633
83	0,0203
84	0,8836

No	Nilai Ki
85	0,0164
86	0,9
87	0,0395
88	0,9395
89	0,0097
90	0,9492
91	0,018
92	0,9672
93	0,0282
94	0,9954
95	0,0316
96	1,027
97	0,0241
98	1,0511
99	0,0491
100	1,1002
101	0,0176
102	1,1178
103	0,0679
104	1,1856
105	0,0085
106	1,1941
107	0,0234
108	1,2176
109	0,0182
110	1,2357
111	0,0224
112	1,2582

Lampiran H : Lanjutan

No	Nilai Ki						
113	0,0254	141	0,0167	169	0,0142	197	0,0154
114	1,2835	142	1,6139	170	1,9739	198	2,2703
115	0,019	143	0,0111	171	0,0204	199	0,0737
116	1,3025	144	1,625	172	1,9943	200	2,3439
117	0,0198	145	0,0333	173	0,0118	201	0,015
118	1,3223	146	1,6583	174	2,0061	202	2,3589
119	0,0111	147	0,0108	175	0,0139	203	0,0178
120	1,3334	148	1,6691	176	2,02	204	2,3767
121	0,0258	149	0,027	177	0,0148	205	0,023
122	1,3592	150	1,6961	178	2,0348	206	2,3998
123	0,0171	151	0,0336	179	0,0367	207	0,0189
124	1,3763	152	1,7297	180	2,0714	208	2,4186
125	0,0161	153	0,024	181	0,0334	209	0,0231
126	1,3924	154	1,7536	182	2,1048	210	2,4417
127	0,0131	155	0,0268	183	0,019	211	0,012
128	1,4055	156	1,7804	184	2,1238	212	2,4537
129	0,0195	157	0,0268	185	0,0307	213	0,0123
130	1,4251	158	1,8073	186	2,1545	214	2,466
131	0,067	159	0,069	187	0,0118	215	0,0114
132	1,492	160	1,8762	188	2,1663	216	2,4774
133	0,034	161	0,0335	189	0,0336	217	0,0195
134	1,526	162	1,9098	190	2,1999	218	2,4969
135	0,0425	163	0,0151	191	0,0178	219	0,0148
136	1,5685	164	1,9248	192	2,2177	220	2,5117
137	0,0186	165	0,0147	193	0,0168	221	0,0086
138	1,5871	166	1,9395	194	2,2346	222	2,5203
139	0,01	167	0,0201	195	0,0203	223	0,0097
140	1,5971	168	1,9596	196	2,2548	224	2,5299

Lampiran H : Lanjutan

No	Nilai Ki
225	0,0189
226	2,5489
227	0,0087
228	2,5575
229	0,0088
230	2,5663
231	0,0147
232	2,581

No	Nilai Ki
233	0,0282
234	2,6092
235	0,0873
236	2,6965
237	0,0096
238	2,7062
239	0,0227
240	2,7288

No	Nilai Ki
241	0,0339
242	2,7627
243	0,1048
244	2,8676
245	0,055
246	2,9226
247	0,014
248	2,9365

No	Nilai Ki
249	0,0171
250	2,9536
251	0,0275
252	2,9811
253	0,0097
254	2,9908
255	0,0092

Data Display

Matrix k
k 3

Lampiran I : Output Minitab Nilai A Pada Kapabilitas Proses Multivariat Fase1

No	Nilai Ai	No	Nilai Ai	No	Nilai Ai	No	Nilai Ai
1	0,0228	28	0,1372	55	0,0084	82	0,3754
2	0,0228	29	0,0005	56	0,2123	83	0,0075
3	0,0112	30	0,1377	57	0,0024	84	0,3828
4	0,034	31	0,0143	58	0,2147	85	0,0027
5	0,0018	32	0,152	59	0,0033	86	0,3855
6	0,0358	33	0,0027	60	0,218	87	0,0044
7	0,0232	34	0,1547	61	0,0128	88	0,3899
8	0,0589	35	0,0099	62	0,2308	89	0,0232
9	0,012	36	0,1647	63	0,053	90	0,4131
10	0,0709	37	0,0006	64	0,2838	91	0,0053
11	0,0022	38	0,1653	65	0,0084	92	0,4184
12	0,0731	39	0,0023	66	0,2922	93	0,0013
13	0,0091	40	0,1676	67	0,0295	94	0,4197
14	0,0822	41	0,0013	68	0,3217	95	0,0219
15	0,0003	42	0,1689	69	0,0263	96	0,4417
16	0,0824	43	0,0041	70	0,3481	97	0,0007
17	0,0023	44	0,1731	71	0,0003	98	0,4423
18	0,0847	45	0,0152	72	0,3484	99	0,0003
19	0,0036	46	0,1882	73	0,0025	100	0,4427
20	0,0883	47	0,0046	74	0,3508	101	0,0021
21	0,0143	48	0,1928	75	0,0037	102	0,4448
22	0,1026	49	0,0016	76	0,3545	103	0,0013
23	0,0249	50	0,1945	77	0,0023	104	0,4461
24	0,1274	51	0,0069	78	0,3569	105	0,0076
25	0,0036	52	0,2014	79	0,0183	106	0,4538
26	0,131	53	0,0026	80	0,3752	107	0,0007
27	0,0062	54	0,2039	81	0,0002	108	0,4544

Lampiran I :Lanjutan

No	Nilai Ai						
109	0,0008	136	0,5887	163	0,0114	190	0,933
110	0,4553	137	0,0161	164	0,7549	191	0,0145
111	0,0001	138	0,6047	165	0,023	192	0,9475
112	0,4554	139	0,0081	166	0,7778	193	0,0026
113	0,0115	140	0,6128	167	0,0013	194	0,9502
114	0,4668	141	0,0195	168	0,7791	195	0,0049
115	0,0129	142	0,6323	169	0,0462	196	0,9551
116	0,4797	143	0,0126	170	0,8252	197	0,0164
117	0,0132	144	0,6449	171	0,0258	198	0,9715
118	0,4929	145	0,0359	172	0,851	199	0,004
119	0,0092	146	0,6809	173	0,0074	200	0,9755
120	0,5021	147	0,0029	174	0,8585	201	0,0106
121	0,0288	148	0,6838	175	0,0092	202	0,9861
122	0,5309	149	0,0127	176	0,8676	203	0,0033
123	0,0114	150	0,6965	177	0,0024	204	0,9894
124	0,5424	151	0,0052	178	0,8701	205	0,0058
125	0,0054	152	0,7017	179	0,0101	206	0,9952
126	0,5477	153	0,0144	180	0,8802	207	0,0027
127	0,0129	154	0,716	181	0,0028	208	0,9979
128	0,5606	155	0,0084	182	0,883	209	0,0141
129	0,001	156	0,7244	183	0,0099	210	1,012
130	0,5616	157	0,0005	184	0,8929	211	0,0056
131	0,0003	158	0,725	185	0,0123	212	1,0175
132	0,5619	159	0,0175	186	0,9052	213	0,0182
133	0,0161	160	0,7425	187	0,0074	214	1,0357
134	0,578	161	0,001	188	0,9127	215	0,0032
135	0,0106	162	0,7435	189	0,0203	216	1,0389

Lampiran I :Lanjutan

No	Nilai Ai						
217	0,0309	244	1,2048	271	0,0015	298	1,4058
218	1,0698	245	0,0161	272	1,3335	299	0,0091
219	0,0042	246	1,2209	273	0,0118	300	1,4149
220	1,0741	247	0,0047	274	1,3453	301	0,009
221	0,0213	248	1,2256	275	0,0009	302	1,4239
222	1,0954	249	0,0273	276	1,3463	303	0,0094
223	0,0009	250	1,253	277	0,0058	304	1,4333
224	1,0963	251	0,0044	278	1,352	305	0,011
225	0,0052	252	1,2574	279	0,0046	306	1,4443
226	1,1014	253	0,0013	280	1,3566	307	0,0028
227	0,0122	254	1,2587	281	0,0095	308	1,4472
228	1,1136	255	0,0008	282	1,3662	309	0,0003
229	0,0351	256	1,2595	283	0,0006	310	1,4475
230	1,1487	257	0,0298	284	1,3667	311	0,0192
231	0,0038	258	1,2893	285	0,0012	312	1,4667
232	1,1525	259	0,007	286	1,3679	313	0,0174
233	0,0156	260	1,2963	287	0,0005	314	1,4841
234	1,1681	261	0,0036	288	1,3684	315	0,0001
235	0,0106	262	1,2999	289	0,0046	316	1,4842
236	1,1787	263	0,005	290	1,373	317	0,0026
237	0,0015	264	1,3049	291	0,0042	318	1,4869
238	1,1802	265	0,0134	292	1,3772	319	0,0013
239	0,0137	266	1,3182	293	0,0044	320	1,4882
240	1,1939	267	0,0035	294	1,3816	321	0,0202
241	0,0027	268	1,3218	295	0,0138	322	1,5084
242	1,1965	269	0,0102	296	1,3954	323	0,042
243	0,0083	270	1,332	297	0,0104	324	1,5505

Lampiran I :Lanjutan

No	Nilai Ai						
325	0,0004	352	1,7037	379	0,008	406	1,9152
326	1,5509	353	0,0036	380	1,7746	407	0,0085
327	0,0131	354	1,7074	381	0,008	408	1,9237
328	1,564	355	0,0036	382	1,7826	409	0,0023
329	0,0006	356	1,7074	383	0,0248	410	1,926
330	1,5645	357	0,014	384	1,8074	411	0,0081
331	0,01	358	1,7214	385	0,006	412	1,9341
332	1,5745	359	0,0127	386	1,8135	413	0,0143
333	0,0044	360	1,7341	387	0,0223	414	1,9483
334	1,5789	361	0,0069	388	1,8357	415	0,0249
335	0,0121	362	1,741	389	0,0099	416	1,9732
336	1,591	363	0,0021	390	1,8456	417	0,0078
337	0,0118	364	1,7431	391	0,0066	418	1,981
338	1,6028	365	0,0012	392	1,8522	419	0,0005
339	0,0081	366	1,7444	393	0,006	420	1,9815
340	1,611	367	0,0002	394	1,8582	421	0,0063
341	0,0126	368	1,7445	395	0,0025	422	1,9879
342	1,6236	369	0,0059	396	1,8607	423	0,0012
343	0,0049	370	1,7504	397	0,0254	424	1,9891
344	1,6285	371	0,0051	398	1,8861	425	0,002
345	0,0123	372	1,7556	399	0,0025	426	1,991
346	1,6408	373	0,0005	400	1,8885	427	0,0055
347	0,0143	374	1,756	401	0,0076	428	1,9966
348	1,6551	375	0,0048	402	1,8961	429	0,0002
349	0,0035	376	1,7608	403	0,006	430	1,9967
350	1,6586	377	0,0057	404	1,9021	431	0,0035
351	0,0451	378	1,7666	405	0,0131	432	2,0003

Data Display

Matrix A

A 2,00028

Lampiran J : Output Minitab Nilai A Pada Kapabilitas Proses Multivariat Fase2

Lampiran J : Lanjutan

No	Nilai Ai	No	Nilai Ai	No	Nilai Ai	No	Nilai Ai
1	0,0028	29	0,0482	57	0,0014	85	0,0089
2	0,0028	30	0,1391	58	0,3997	86	0,5672
3	0,0035	31	0,0305	59	0,003	87	0,0315
4	0,0064	32	0,1696	60	0,4028	88	0,5987
5	0,0076	33	0,02	61	0,014	89	0,002
6	0,014	34	0,1896	62	0,4168	90	0,6007
7	0,0002	35	0,0064	63	0,0097	91	0,0101
8	0,0142	36	0,196	64	0,4265	92	0,6108
9	0,0137	37	0,012	65	0,0195	93	0,0201
10	0,028	38	0,208	66	0,446	94	0,6309
11	0,0049	39	0,0224	67	0,0015	95	0,0241
12	0,0329	40	0,2304	68	0,4475	96	0,655
13	0,0061	41	0,0338	69	0,0008	97	0,0164
14	0,039	42	0,2642	70	0,4483	98	0,6715
15	0,0008	43	0,0173	71	0,0307	99	0,0412
16	0,0399	44	0,2815	72	0,479	100	0,7127
17	0,0029	45	0,0244	73	0,011	101	0,0096
18	0,0428	46	0,3059	74	0,49	102	0,7223
19	0,0046	47	0,0481	75	0,0064	103	0,0599
20	0,0474	48	0,3539	76	0,4964	104	0,7822
21	0,0027	49	0,012	77	0,0084	105	0,0008
22	0,0501	50	0,3659	78	0,5048	106	0,783
23	0,002	51	0,0018	79	0,019	107	0,0154
24	0,0522	52	0,3677	80	0,5238	108	0,7984
25	0,0129	53	0,0283	81	0,022	109	0,0103
26	0,0651	54	0,3961	82	0,5458	110	0,8087
27	0,0258	55	0,0023	83	0,0126	111	0,0139
28	0,0909	56	0,3983	84	0,5583	112	0,8226

Lampiran J : Lanjutan

No	Nilai Ai						
113	0,0175	141	0,0087	169	0,0067	197	0,0076
114	0,8401	142	1,0606	170	1,3123	198	1,4996
115	0,0114	143	0,0031	171	0,0127	199	0,0657
116	0,8515	144	1,0637	172	1,325	200	1,5653
117	0,012	145	0,0255	173	0,0041	201	0,0071
118	0,8635	146	1,0892	174	1,3291	202	1,5725
119	0,003	147	0,0032	175	0,0061	203	0,01
120	0,8665	148	1,0924	176	1,3352	204	1,5824
121	0,0187	149	0,0193	177	0,007	205	0,0153
122	0,8852	150	1,1117	178	1,3422	206	1,5977
123	0,0097	151	0,0261	179	0,0289	207	0,0113
124	0,8948	152	1,1378	180	1,3712	208	1,609
125	0,0079	153	0,0162	181	0,0255	209	0,015
126	0,9027	154	1,154	182	1,3966	210	1,624
127	0,0047	155	0,0189	183	0,0111	211	0,004
128	0,9074	156	1,1729	184	1,4077	212	1,628
129	0,0113	157	0,019	185	0,0227	213	0,0045
130	0,9187	158	1,1919	186	1,4304	214	1,6325
131	0,0597	159	0,0611	187	0,004	215	0,0035
132	0,9784	160	1,2529	188	1,4344	216	1,636
133	0,0262	161	0,0258	189	0,0259	217	0,0115
134	1,0046	162	1,2787	190	1,4603	218	1,6475
135	0,0346	163	0,0073	191	0,0101	219	0,0071
136	1,0392	164	1,286	192	1,4704	220	1,6546
137	0,0109	165	0,0073	193	0,0088	221	0,0007
138	1,0501	166	1,2933	194	1,4793	222	1,6553
139	0,0018	167	0,0123	195	0,0128	223	0,0018
140	1,0519	168	1,3056	196	1,492	224	1,6571

LampiranJ : Lanjutan

No	Nilai Ai
225	0,0111
226	1,6682
227	0,0007
228	1,6689
229	0,0008
230	1,6696
231	0,0067
232	1,6763

No	Nilai Ai
233	0,0204
234	1,6967
235	0,0795
236	1,7762
237	0,0017
238	1,778
239	0,0149
240	1,7928

No	Nilai Ai
241	0,0258
242	1,8186
243	0,0973
244	1,9159
245	0,0468
246	1,9627
247	0,0061
248	1,9688

No	Nilai Ai
249	0,0097
250	1,9785
251	0,0195
252	1,998
253	0,0015
254	1,9995
255	0,0008
256	2,0003

Data Display

Matrix A
 $A = \begin{pmatrix} 2 & 0 & 0 & 0 & 3 & 3 \end{pmatrix}$

Lampiran K : Macro Minitab Uji Distribusi Normal Multivariat

```

macro
qq x.1-x.p
mconstant i n p t chis
mcolumn d x.1-x.p dd pi q ss tt
mmatrix s sinv ma mb mc md
let n=count(x.1)
cova x.1-x.p s
invert s sinv
do i=1:p
  let x.i=x.i-mean(x.i)
enddo
do i=1:n
  copy x.1-x.p ma;
  use i.
  transpose ma mb
  multiply ma sinv mc
  multiply mc mb md
  copy md tt
  let t=tt(1)
  let d(i)=t
enddo
set pi
  1:n
end
let pi=(pi-0.5)/n
sort d dd
invcdf pi q;
chis p.
plot q*dd
invcdf 0.5 chis;
chis p.
let ss=dd<chis
let t=sum(ss)/n
print t
if t>0.5
  note distribusi data
  multinormal
endif
if t<=0.5
  note distribusi data bukan
  multinormal
endif
endmacro

```

Lampiran L : Macro Minitab Nilai K untuk Kapabilitas Proses

Fase 1

```
macro
k1 x.1-x.p
mconstant n i
mcolumn x.1-x.p vek.1-vek.216
mmatrix am1 am2 am3 am4 am5
am6 mm mtt mvek mvekt k1
```

```
noecho
let n=count(x.1)
define 0 1 1 k1

copy x.1-x.p am1
trans am1 am2
mult am2 am1 am3
inve am3 am4
copy x.1-x.p mm
trans mm mtt
copy mtt vek.1-vek.216
```

```
do i=1:n
copy vek.i mvek
trans mvek mvekt
mult mvekt am4 am5
mult am5 mvek am6
add k1 am6 k1
enddo
print k1
endmacro
```

Fase 2

```
macro
k1 x.1-x.p
mconstant n i
mcolumn x.1-x.p vek.1-vek.128
mmatrix am1 am2 am3 am4 am5
am6 mm mtt mvek mvekt k1
```

```
noecho
let n=count(x.1)
define 0 1 1 k1

copy x.1-x.p am1
trans am1 am2
mult am2 am1 am3
inve am3 am4
copy x.1-x.p mm
trans mm mtt
copy mtt vek.1-vek.128
```

```
do i=1:n
copy vek.i mvek
trans mvek mvekt
mult mvekt am4 am5
mult am5 mvek am6
add k1 am6 k1
enddo
print k1
endmacro
```

Lampiran M : Macro *Minitab* Nilai A untuk Kapabilitas Proses

Fase 1

```

macro
cova x.1-x.p
mconstant n i c.1-c.p k2 k chi cp A
mcolumn x.1-x.p b.1-b.p vek.1-
vek.216 cm1 sbr
mmatrix am1 am2 am3 ainv am5
am6 mm mtt mvek mvekt s cm2
cm3 cm4 vo voin
noecho
let n=count(x.1)
define 0 1 1 s
print s
do i=1:p
let b.i=x.i-mean(x.i)
enddo
copy x.1-x.p am1
cova x.1-x.p vo
print vo
inve vo voin
print voin
trans am1 am2
mult am2 am1 am3
inve am3 ainv
print ainv
copy b.1-b.p mm
trans mm mtt
copy mtt vek.1-vek.216
do i=1:n
copy vek.i mvek
trans mvek mvekt
mult mvekt ainv am5
mult am5 mvek am6
add s am6 s
print i s
enddo
print s
copy s sbr
print sbr
copy sbr A
print A
endmacro

```

Lampiran M : Lanjutan

Fase 2

```

macro
cova x.1-x.p
mconstant n i c.1-c.p k2 k chi cp A
mcolumn x.1-x.p b.1-b.p vek.1-
vek.128 cm1 sbr
mmatrix am1 am2 am3 ainv am5
am6 mm mtt mvek mvekt s cm2
cm3 cm4 vo voin
noecho
let n=count(x.1)
define 0 1 1 s
print s
do i=1:p
let b.i=x.i-mean(x.i)
enddo
copy x.1-x.p am1
cova x.1-x.p vo
print vo
inve vo voin
print voin
      rans am1 am2
      mult am2 am1 am3
      inve am3 ainv
      print ainv
      copy b.1-b.p mm
      trans mm mtt
      copy mtt vek.1-vek.128
      do i=1:n
      copy vek.i mvek
      trans mvek mvekt
      mult mvekt ainv am5
      mult am5 mvek am6
      add s am6 s
      print i s
      enddo
      print s
      copy s sbr
      print sbr
      copy sbr A
      print A
      endmacro

```

Lampiran N : Ouput SPSS MANOVA Dan Box's M Test**Multivariate Tests^a**

Effect		Value	F	Hypothesis df	Error df	Sig.
Intercep t	Pillai's Trace	1,000	343077,690 ^b	3,000	340,000	,000
	Wilks' Lambda	,000	343077,690 ^b	3,000	340,000	,000
	Hotelling's Trace	3027,15 6	343077,690 ^b	3,000	340,000	,000
	Roy's Largest Root	3027,15 6	343077,690 ^b	3,000	340,000	,000
	Pillai's Trace	,074	9,083 ^b	3,000	340,000	,000
	Wilks' Lambda	,926	9,083 ^b	3,000	340,000	,000
Fase	Hotelling's Trace	,080	9,083 ^b	3,000	340,000	,000
	Roy's Largest Root	,080	9,083 ^b	3,000	340,000	,000

a. Design: Intercept + Fase

b. Exact statistic

Lampiran O : Konversi Sigma ke DPMO

NO	Peningkatan Kualitas	Kapabilitas Proses (Cp)	DPMO
1	3,00 sigma	1,00	66.807
2	3,10 sigma	1,03	54.799
3	3,20 sigma	1,07	44.565
4	3,30 sigma	1,10	35.930
5	3,40 sigma	1,13	28.717
6	3,50 sigma	1,17	22.750
7	3,60 sigma	1,20	17.865
8	3,70 sigma	1,23	13.904
9	3,80 sigma	1,27	10.724
10	3,90 sigma	1,30	8.198
11	4,00 sigma	1,33	6.210
12	4,10 sigma	1,37	4.661
13	4,20 sigma	1,40	3.467
14	4,30 sigma	1,43	4.255
15	4,40 sigma	1,47	1.866
16	4,50 sigma	1,50	1.350
17	4,60 sigma	1,53	968
18	4,70 sigma	1,57	687
19	4,80 sigma	1,60	483
20	4,90 sigma	1,63	337
21	5,00 sigma	1,67	233
22	5,10 sigma	1,70	159
23	5,20 sigma	1,73	108
24	5,30 sigma	1,77	72
25	5,40 sigma	1,80	48
26	5,50 sigma	1,83	32
27	5,60 sigma	1,87	21
28	5,70 sigma	1,90	13
29	5,80 sigma	1,93	9
30	5,90 sigma	1,97	5
31	6,00 sigma	2,00	3

BIODATA PENULIS



Penulis dilahirkan pada tanggal 8 Oktober 1992 di Surabaya, Jawa Timur, Indonesia dengan nama Ida Nurul Qomariyah biasanya dipanggil Ida atau idul. Pendidikan formal yang telah ditempuh oleh penulis sebelum memasuki dunia perkuliahan yaitu MI Tanada Sidoarjo, SMP Al-Falah Tropodo dan SMA Negeri 1 Waru-Sidoarjo.

Pada tahun 2010, penulis meneruskan pendidikan di Diploma III dan dilanjut ke jenjang Lintas Jalur Jurusan Statistika Fakultas Matematika dan Ilmu Pengetahuan Alam, Institut Teknologi Sepuluh Nopember Surabaya dengan NRP 1313 105 031. Selama perkuliahan, penulis berpartisipasi dalam berbagai kepanitiaan dan organisasi salah satunya Divisi Professional Statistics dan Koperasi mahasiswa Dr. Angka. Penulis juga pernah menjabat sebagai staff Personalia dan Asisten direktur di Koperasi Mahasiswa Dr. Angka ITS pada tahun 2011-2012. Penulis juga mempunyai berbagai macam pengalaman kerja sebagai surveyor maupun entrier. Apabila pembaca ingin berdiskusi mengenai tugas akhir ini dan/atau materi lain yang berhubungan, penulis dapat dihubungi melalui email : idanurulqomariyah@gmail.com